

الفصل الخامس
الأوامر (الروابط) البلورية

١ - مقدمة :

درست في الفصل الثالث كيفية تصنيف المواد العلبة على أساس تناظر البلورات، ولكن هذا التصنيف يستند على سمة (*Space Group*) واحدة من صفات الجسم الصلب وهي التناظر الهندسي، ولم يطرق هذا التصنيف إلى طبيعة الخواص الفيزيائية للمادة العلبة المصنفة. فمثلاً لو درس بلورات أية فئة بلورية من الفئات السبع سلاحظ وجود خواص كهربائية وmekanikية وضوئية لعناصرها مختلفة جداً عن بعضها، معنى هذا أن التصنيف أعلاه لم يلحظ الخواص الفيزيائية للصلب المصنف.

وبالإمكان استخدام تصنيف آخر يعتمد على تركيب وتوزيع الكترونات التكافؤ الذرية، وهذه الالكترونات هي التي تتأثر تماماً عند دخول الذرة في تعاملات مكونة الجسم الصلب، وهي بخلاف الالكترونات القلبية (*core electrons*) والمرتبطة شديداً مع أنواعها والتي تتأثر بشكل قليل جداً عند دخول الذرة، الحرارة مكونة بلورة، أي أن التصنيف يتم على أساس تأثير الالكترونات التكافؤ أو على أساس سبب هذا التأثير وهو الأوامر الرابطة بين الذرات، أدنى تصنف المواد العلبة على أساس الأوامر البلورية الرابطة بين الذرات أو الجزيئات.

إن وجود المادة العلبة وتماسكها مشروط بوجود قوى رابطة داخلية بين ذرات أو جزيئات أو أيونات التركيب البلوري، وبالاضافة إلى قوى التجاذب هذه، يجب توفر قوى أخرى نافرة بين ذرات المادة العلبة تمنع فريداً من تفارتها الناتج من قوى الجذب، هندسة تقول بأن كل حامض الجسم الصلب موجود في حالة معينة من التوازن أو الاستقرار، أي أن ذرات الجسم الصلب توجد عند مواضع توازناتها المشترطة بالقوى المتعاكستان إعلاه، وذكر بأن طبيعة قوى التجاذب تختلف من طبيعة قوى التناحر، وهذا الاختلاف ناشيء عن اختلاف المنشا.

هـ ديوان المطبوعات - أبحاث

٦٢.٢٩٨٤

لوحظ عملياً أن أقل قيمة لطاقة الربط موجودة لبلورات الغازات الخاملة فهي تساوي حوالي 0,08 eV الكترون فولت (eV) لكل ذرة بالنسبة لبلورة الأركون. وهذه القيمة أقل بكثير من طاقات الربط في بلورات العناصر (C, S, Ge, ...). والتي تبلغ حوالي 4,64 eV لكل ذرة بالنسبة للسليلون. أما لبلورات العناصر القلوية (Na, K, Rb, ...) فقيم طاقات ربطها تقع وسطاً بين القيمتين أعلى وتساوي حوالي 1,13 eV لكل ذرة في بلورة الصوديوم. ولبلورات العناصر الانتقالية (Fe, Co, Cu, ...) طاقات ربط عالية فمثلاً تبلغ طاقة الربط لبلورة الحديد حوالي 4,29 eV لكل ذرة.

ومنذكر أهم أربعه أنواع من بلورات الجسم الصلب، والتي على أساسها تصنف المواد الصلبة بخواصها الفيزيائية. وهذا التقسيم يعتمد على نوع الاوامر الرابطة بين الذرات، وبالتالي اعتماداً على توزيع وطبيعة الكترونات التكافؤ في ذرات المواد المختلفة:

- 1 - البلورات الجريئية
- 2 - البلورات الأيونية أو التساقية
- 3 - البلورات التساهمية
- 4 - البلورات المعدنية
- 5 - بلورات الأوامر الهيدروجينية.

إن موضوع حساب طاقات ربط المواد والعناصر يتم عن طريق الميكانيك الكمي، ولكن لوحظ أن استخدام حسابات ومفاهيم الميكانيكا التقليدية يؤدي إلى نتائج نظرية جيدة التطابق مع النتائج العملية خصوصاً عندما تكون الأوامر متأتية من أيونات أو شائيات أقطاب كهربائية (Electrostatics) موزعة بشكل دوري والتي تنسق على التوالي بالأوامر الأيونية وأوامر فان-در-والز (أو الشائبة القطب).

وعلى العموم، ان طبيعة القوى بين ذرات الجسم الصلب ذات أساس كهربائي فالأساس المغناطيسي أو الثقالى لا يولد قوى بهذه الدرجة التي تعطي الصفات الميكانيكية المعروفة للجسام الصلبة. وليس المقصود بالقوى ذات الأساس الكهربائي بأنها متماثلة بنوعها وقوانينها ومقاديرها، فهي مختلفة عن بعضها تماماً مع كون أساسها كهربائي، والاختلاف هذا هو المسؤول عن اختلاف خصائص الأجسام الصلبة وعلى الخصوص الميكانيكية منها كالمرنة والملابة ... الخ.

ندرس الموضوع على العموم من ناحية الطاقة فالمعروف من قوانين الديناميكا الحرارية (الترموديناميكا) أن مجموعة ذرات تكون مستقرة عندما تؤول طاقتها الحرة F إلى أقل قيمة ممكنة لها:

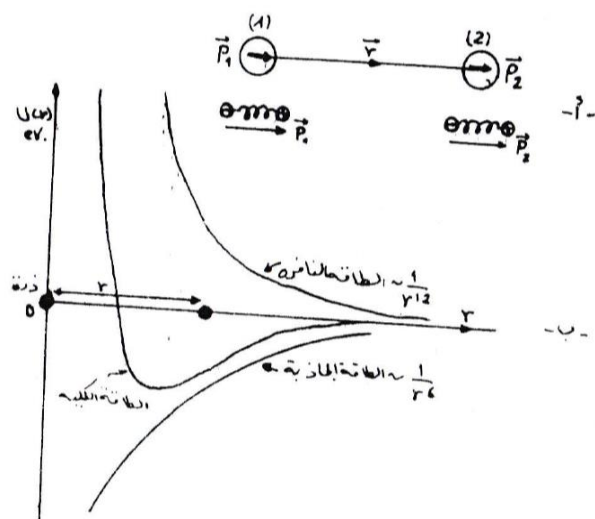
$$(1-5) \quad F = T \cdot S$$

حيث T - الطاقة الداخلية الكلية (الكامنة والحركية)، S - درجة الحرارة و F - الانتروبيا. وعند دراسة الجسم الصلب بدرجات الحرارة المنخفضة جداً، يمكن اهمال الحد T . معنى هذا أنه لكي يتولد جسم صلب من ذرات متفرقة يجب أن يكون مجموع الطاقات الداخلية له (الكامنة والحركية) أقل من مجموع طاقات ذرات (الحركية) المنفصلة*. وفرق الطاقة هذا يسمى طاقة الربط (cohesive energy)

أو التكوين ، والعكس. فعندما يعطي الجسم طاقة بقدر طاقة تكوينه فإنه يتحول إلى ذرات منفصلة غير متفاعلة . معنى هذا أن الطاقة الكامنة للجسم الصلب عند درجات الحرارة المنخفضة جداً (أي باهمال الطاقات الحركية لذراته) تساوي طاقة الربط .

* والمقصود هو أقل طاقة حركية للذرات المنفصلة واللزامية لتكوين الجسم الصلب.

تفحص الان تفاعل ذرتين متعاولتين متسااثلتين تماماً، يبعدان عن بعضهما
المسافة $\frac{r}{2}$ الاكبر بكثير من نصف قطر اي من الذرتين المتفاصلتين. نتصور اللذة
الواحدة مكونة من نواة محاطة بغيمة الكترونية بحيث ان مركز الشحنة السالبة
(الاكترونات) منطبق على مركز الشحنة الموجبة (النواة). ولكن هذا الانتطاق يتم
في الحالة المتوسطة، فالموقع اللحظي لمركز شحنة الغمامه الالكترونية (وبسبب
حركة الاكترونات) غير ثابت في نقطة واحدة بل متغير الموقع ولا ينطبق في كل
اللحظات الزمنية على مركز الشحنات الموجبة (ولكن في المتوسط يكون منطبقان
على بعضهما). لذلك يظهر في آية لحظة زمنية عزم ثنائي قطب كهربائي \vec{P}
، الشكل (5 - 1) يمثل أنه في لحظة زمنية معينة يكون للذرة (1) عزم ثنائي



(1 - 5) 15

ولكن عندما تكون الكثافة الفعائية الالكترونية بين الأيونات كبيرة ، بحيث لا يمكن من تصور انتساب الالكترونات الى المراكز الأيونية (اي لا يمكن اعتبار الاوامر أيونية) في هذه الحالة نلهم بالدراسة الى الميكانيكا الكمية : ومثل هذه الحالات تكون اوامر تدعى **بأوامر المعدنية** أو **التساهمية** والتلتان تتميزان عن بعضهما ببعض موحد يتجه في الاولى ويتجه في الثانية .

2 - البلورات المجزية

- الزن - سر - فان - قبة

فند درجات الحرارة الواطنة (٢٤ للكريون ، ١١٦ للأكريليون) تتجمد
الثباتات الخامدة (Ne, Ar, Kr , Xe) مشكلة بلورات من النوع fcc .

نرات الغازات الخاملة لها طاقات تاين كبيرة ومداراتها ممتلئة وتوزع في
الإلكترونان فيها كروي. منذ ذلك نتساءل ما هي طبيعة القوى بين هذه الذرات في
البلورات خصوصاً عندما نعلم بأن التوزيع الإلكتروني للإلكترونات في الذرات الحرة
لا يختلف كثيراً عنه عند وجود هذه الذرات في البلورات وذلك لأن طاقة ربط
المادة في البلورة يساوي حوالي ١٪ أو أقل من طاقة تاين الذرة (طاقة تاين ذرة
الأركون تساوي 15.76 eV وهي الطاقة اللازمة لخروج الكترون واحد منها بينما
طاقة الرابط في البلورة تساوي حوالي $0.08 \frac{\text{ذرة}}{\text{مole}}$ ، أي أن طاقة الرابط قصيرة
كافية لتشويف الفيضة الإلكترونية في الذرات وبالتالي تغيير التوزيع الإلكتروني.
لقد فسر ظهور القوى بين هذه الذرات على أساس التفاعل بين ثنائيات
القطب (H_2O) الكهربائية، وهذه القوى أو الأدافع تسمى قوى فان-در-والز.

فإن المعادلة (5 - 3) تعطي طاقة الجذب بالمقدار $7 \times 10^{-27} \text{ جم}^2$ تقريباً، ولكن هذه القيمة قليلة جداً مقارنة مع النتائج العملية، لذلك تتوقف قيمة الثابت C أكبر مما هي عليه في المعادلة (5 - 4). على كل حال، تحسب قيمة C عملياً.

ونذكر أن قوة فان - در - والر، الموصوفة أعلاه لا تخص بلورات الغازات الخاملة فقط، فهي موجودة باستمرار متراكبة مع الأوصار من الأنواع الأخرى، هذه الأوصار أقوى من أصوات فان - در - والر الضعيفة. ولكن قوة فان در والر تشكل الأصرة التجاذبية الوحيدة بالنسبة للبلورات الجزيئية (أو بلورات الغازات الخاملة).

ب - قوة التناحر بين الذرات:

إن ما نتناوله أدناه حول أصل وطبيعة قوى التناحر بين الذرات هو في الواقع عاماً ولا يختص فقط للبلورات الجزيئية.

قوة التجاذب أعلاه (المعادلة 5 - 3) تعرب ذرات البلورات الجزيئية من بعضها البعض، ولكن هذه العملية لا تستمر بل يجب أن تتوقف عند حد معين، والأدخال الذرات ببعضها البعض. معنى هذا أنه أثناء عملية الاقتراب تظهر قوة تناحر تزداد كلما زاد الاقتراب. ندرس طبيعة وأصل قوة التناحر هذه.

إن سبب ظهور قوة التناحر بين الذرات يستند على مبدأ باولي: لا يمكن للكترونين أن يشغلا نفس الحالة الكمية المحددة بالأعداد الكمية (بضمها الكمي الجرمي - السيني ψ). لذلك فعند اقتراب ذرتين نحو بعضهما تبدأ غيماتهم اللكترونية بالتدخل، ويصاحب هذا انتقال الكترونات من ذرة إلى أخرى عند ما يتوافر مكان كمي التحديد لها أي عندما يتتوفر في الذرة الأخرى حالات (states) غير مشغولة تسمح بأن تشغلها الكترونات. وهذا يحدث (مثلاً) عند اقتراب ذرتان

قطب \vec{P}_1 . وهذا الثنائي القطب يول مجالاً كهربائياً \vec{E} عند مركز الذرة (2) يساوي $\frac{2\vec{P}_1}{r^3} = \vec{E}$. والمجال الكهربائي هذا يحيث (Induce) في الذرة (2) عزم ثباني قطب آسي يساوي: $\vec{P}_2 / r^3 = \alpha \vec{E} = \alpha \vec{P}_1$. وفي هذه اللحظة يتفاعل ثبانياً القطب \vec{P}_1 و \vec{P}_2 ، وطاقة التفاعل تساوي:

$$(2-5) \quad \frac{1}{4\pi\epsilon_0} \left(\frac{\vec{P}_1 \cdot \vec{P}_2}{r^3} - \frac{3(\vec{P}_1 \cdot \vec{r})(\vec{P}_2 \cdot \vec{r})}{r^5} \right)$$

ونظراً للتوازي \vec{P}_1 ، \vec{P}_2 وانطبق خط عملهما على الخط الواصل بينهما (كأسطحة)، فإن الطاقة الكامنة توصف تقريباً بالصورة التالية:

$$(2-6) \quad \frac{1}{4\pi\epsilon_0} \left(\frac{-2\vec{P}_1 \cdot \vec{P}_2}{r^3} - \frac{4\alpha P_1^2}{r^6} \right)$$

حيث استعملنا الوحدات الدولية:

$$(3-5) \quad C = \frac{1}{4\pi\epsilon_0} \left(\frac{-2\vec{P}_1 \cdot \vec{P}_2}{r^3} - \frac{4\alpha P_1^2}{r^6} \right)$$

والإشارة السالبة دليل على أن قوة هذا التفاعل تجاذبية (بين الذرتين المتعاكستين) وهذه الطاقة تعتمد على $(r^6 / 1)$ لذلك فهي تتناقص "وتختفي" بسرعة فائقة بزيادة r .

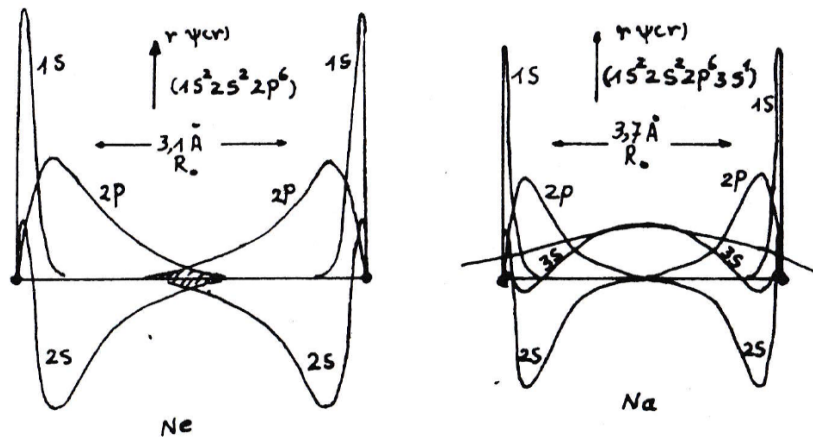
والآن نقيم الثابت C : $C = \frac{1}{4\pi\epsilon_0} 4\alpha P_1^2$: أن وحدات α هي (طول)³ لذلك نفرض قيمتها في حدود r^3 (حيث $r = \frac{1}{2}$ نصف قطر الذرة المساوي تقريباً 1 \AA). وعزم ثباني القطب يساوي e^2 لذلك نقدر قيمة C :

$$C \approx 10^{-19} \times 10^{-10} \times 10^{-10} \times 4 \times 10^9 \times 9 \text{ جم}^2$$

$$(4-5) \quad C \approx 10^{-58} \text{ جم}^2 \text{ لـ} 10^{-77}$$

وعلى أساس مسافة الجوار الأقرب في بلورة الأركون المساوية إلى $\sqrt[3]{2} \text{ \AA} = 3,7 \text{ \AA}$

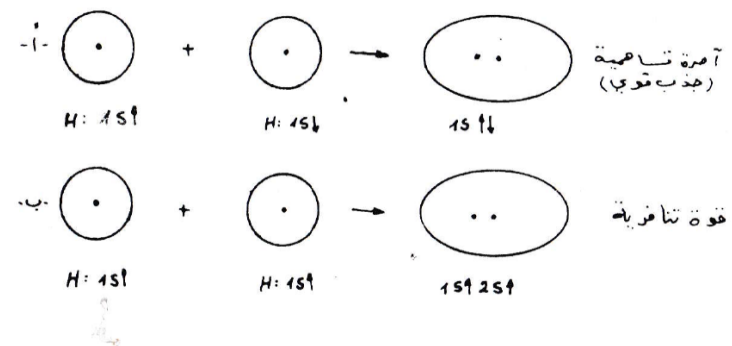
ولكن مثل حالة التراكب أعلاه لا يمكن أن تحدث للذرات الأكثر ثقلًا وذلك لأن الأنيون محااطة بأقليفة الكترونية مغلقة (الإلكترونات القلبية). لذلك فالتراكب بين إلكترونات درتين يمكن أن يحدث للإلكترونات التكافؤية الخارجية . وهذا موضح في الشكل (5 - 3) الذي يبين الحسابات النظرية للجزء القطري لتتابع الموجة (٢٤) لذرتين من النيون ومن الصوديوم متضمنتين عن بعضهما بقدر مسافة الجوار



شكل (5 - 3)

الأقرب في البثارات R_0 . ويبدو أن المدارات " $2p$ " و " $3s$ " متراكبة مع بعضها مما يولد قوة تنافريّة تعادل عند الاتزان بقوة التجاذب الشائنة القطب بالنسبة للنيون . بينما يكون التراكب كبيراً وواضحاً بين إلكترونات الخارجية " $3s$ " لذرتين الصوديوم .

الهيدروجين من بعضهما كما في الشكل (5 - 2) وذلك في الحالة الغازية : في الحالة (١) ينعاكس سرم الالكترونان لذلك يمكنهما أن يشبعا نفس المدار $1s^2$ ، وطاقة الربط تساوي $78,98 \text{ eV}$ - حيث لم يؤثر مبدأ باولي * أو حيث يسمح



شكل (2 - 5)

مبدأ باولي . وفي الحالة (ب) يشغل كلاً إلكترونوان الحالة $1s^2$ (لهمَا نفس اتجاه البرم) ، لذلك ففي مبدأ باولي يجبر أحد إلكترونوان $1s^2$ على الانتقال نحو السسوبي $2s^2$ وذلك لأن الحالة $1s^2$ مشبعة من قبل الكترون واحد ، وطاقة الربط في هذه الحالة $57,38 \text{ eV}$ - . إن فرق طاقتا الربط بين الحالتين (١) (و) (ب) متأتى عن قوة تنافر باولي ويساوي $19,6 \text{ eV}$ وهو الزيادة في الطاقة (مع ملاحظة أننا أهلنا الطاقة الكولومية بين النواتين - البروتونين - والتي هي نفسها في كلا الحالتين ١، ب) .

* القيمة تستخرج من الهيليوم . عند سماع مبدأ باولي تتكون آمرة قوية تجاذبية نسبيّة التساهميّة .

$$(5 - 5) \quad \frac{B}{r^{12}} - \frac{C}{r^6} = \frac{F}{e}$$

والشكل (5 - 1 ب) يمثل جمع منحنى الطاقتين النافرة والجاذبة لزوج من ذرات الغازات الخاملة. وتكتب الثوابت B و C بالصورة:

$$(6 - 5) \quad B = 4 \epsilon r^{12} \quad C = 4 \epsilon r^6$$

والثوابت ϵ و r تمثل على التوالي شدة القوة بين الذرتين ونصف قطر القلب الإلكتروني. وعلى هذا الأساس تأخذ المعادلة (5 - 5) الصورة:

$$(7 - 5) \quad \frac{\sigma}{r^6} - \frac{\sigma}{r^{12}} = 4\epsilon [(\frac{r}{r_0})^{12} - (\frac{r}{r_0})^6]$$

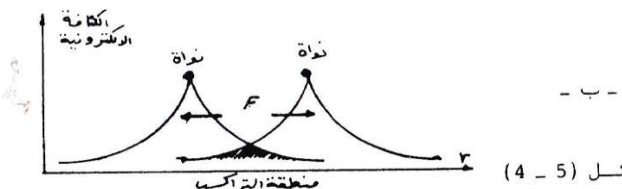
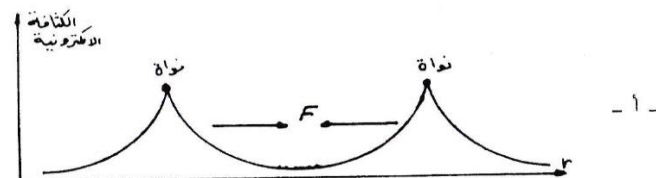
وهذه المعادلة تسمى معادلة ليونارد - جونس. والقوة بين الذرتين تحسب من العلاقة $F = \frac{4\epsilon r^6}{r^{12}}$. والثوابت ϵ ، r تفاس عملياً كما في الجدول (5 - 1).

جدول (5 - 1)

الثوابت	ϵ (eV.)	σ (Å)	درجة الانصهار	طاقة ذرين الذرة الحرجة	طاقة الريبط	فاصلة الجواه R_0 (Å)	البلورة
0,0031	2,74	21,56	24	0,020	3,13	Ne	
0,0104	3,40	15,76	84	0,080	3,75	Ar	
0,0140	3,65	14,0	117	0,116	3,99	Kr	
0,0200	3,98	12,13	161	0,170	4,33	Xe	

ويلاحظ من الجدول أن قيم ϵ في حدود 0,01 eV. وهذا يعني ضعف رابطة سلورات الغازات الخاملة وبالتالي قلة درجة انصهارها.

وعلى العموم، نقول بأن محاولة التراكب المناقضة لمبدأ باولي تؤدي إلى ظهور قوة تنافر تمنع حدوثه كما في الشكل (5 - 4)، وهذا بدوره يؤدي إلى زيادة طاقة المجموعة أو زيادة الطاقة الحركية للإلكترونات المترابكة. وطبيعة قوة التراكب هذه معتمدة بشكل كبير على المسافة بين الذرات r . وطاقة التنافر $*$ تؤخذ في العادة الصورة B/r^{12} أو e^{2/r^6} حيث B ، e ، r ثوابت تحسب عملياً.



للحظة علماً أن طاقة التنافر لبلورات الغازات الخاملة تتبع الهيئة B/r^{12} (B - ثابت موجب).

٤ - معادلة ليونارد - جونس:

جمع الطاقتين النافرة والجاذبة تحصل على الطاقة الكامنة الكلية لزوج من الذرات ϵ و r :

* قوة التنافر بين الأ燧ية للذرات الثقيلة المترابكة ضعيفة لأن كل نواة مجموعة بألكتروناتها القلبية.

$$(11-5) U_{tot} = 2 N \epsilon \left[\left(\frac{\sigma}{R} \right)^{12} A_{12} - \left(\frac{\sigma}{R} \right)^6 A_6 \right]$$

حيث :

$$A_{12} = \sum_{j \neq i} P_j^{-12} \quad , \quad A_6 = \sum_{j \neq i} P_j^{-6}$$

$$(12-5) A_n = \sum_{j \neq i} P_j^{-n}$$

وهو يمثل مجموع المعكوس للقوة n للمسافات من عقدة براغية معينة () إلى كل العقد الأخرى عندما تكون فاصلة الجوار الأقرب كوحدة للقياس.

وقيم A_n تعتمد على التركيب البلوري وتساوي :

	Sc	bcc	fcc	hcp
A_6 :	8,40	12,25	14,4539	14,45489
A_{12} :	6,20	9,11	12,13188	12,13229
A_{16} :	6,05	8,61	12,03	—

حيث يلاحظ أنه كلما كانت n كبيرة كلما اقتربت قيمة A_n من العدد التناصي للتركيب البلوري أو عدد الجوار الأقرب Z فمثلاً

$$fcc : Z = 12 \quad , \quad A_n \rightarrow Z$$

معنى هذا أنه كلما أخذنا n كبيرة كلما اقتربنا من فكرة أن التفاعل يتم مع الجوار الأقرب. وفي الحالة $n = 12$ فإن $A_{12} = 6$ فالآن يحسب أساساً من الجوار الأول والثاني وجزئياً من الثالث. وعندما نفك بالتعامل فقط مع الجوار الأول لحد التناحر فاننا يجب أن نأخذ n كبيرة مثلاً: $17 > n > 12$.

د - طاقة الربط (Cohesive energy)

كما عرفنا سابقاً أن طاقة الربط هي الفرق بين طاقة البلورة وطاقة ذراتها منفصلة وهي تساوي الطاقة اللازمة لتغريق البلورة إلى ذرات منفصلة متباعدة عن بعضها، وهي تساوي كذلك الطاقة الكامنة للذرات في البلورة باهتمال الطاقة الحرارية وذلك لأن الحسابات تجري بدرجات الحرارة الواطئة جداً.

المعادلة (5-7) توضح الطاقة الكامنة المعتدلة بين ذرتين في بلورة الغاز الخامل. وطاقة الربط تأتي من جمع المعادلة (5-7) على كل أزواج الذرات في البلورة. في البداية نحسب الطاقة الكامنة للذرة () في "حقل" جميع الذرات الباقية، أي:

$$U_i(r) = \sum_{j \neq i} U_{ij}(r)$$

وبضرب هذا المجموع في عدد الذرات (N) نحصل على ضعف طاقة ربط البلورة، إذن:

$$(8-5) U_{tot} = \frac{1}{2} N \sum_{i \neq j} U_{ij}(r)$$

ولاجراء الجمع، من المناسب وضع المعادلة (5-7) بالصورة التالية:

$$(9-5) U_{tot} = 4 \epsilon \left[\left(\frac{R}{r_{ij}} \right)^{12} - \left(\frac{R}{r_{ij}} \right)^6 \right]$$

حيث R هي مسافة الجوار الأقرب.
اذن :

$$(10-5) U_{tot} = \frac{1}{2} N (4 \epsilon) \left[\left(\frac{R}{r_{ij}} \right)^{12} - \left(\frac{R}{r_{ij}} \right)^6 \right]$$

ووضع $r_{ij} = R P_{ij}$ ، أي صياغة المسافة بين الذرة i وذرة أخرى j بدلالة مسافة الجوار الأقرب R نحصل على :

جدول (5 - 2)

	Ne	Ar	Kr	Xe
$R_0 (\text{\AA})$ عملي	3,13	3,75	3,99	4,33
$R_0 = 1,09 \sigma$ نظري	2,99	3,71	3,98	4,34
$U_{\text{tot}/N} (\text{eV})$ عملي	-0,02	-0,08	-0,116	-0,17
$U_{\text{tot}/N} = -8,6 \epsilon$ نظري	-0,027	-0,089	-0,12	-0,172
$B (10^{10} \text{ N/m}^2)$ عملي (دين/سم ²)	1,1	2,7	3,5	3,6
$B = 75 \epsilon/\sigma^3$ نظري	1,81	3,18	3,46	3,81

ووضع القيمة النظرية (5 - 13) في (5 - 12) نجد:

$$(14-5) \quad R_0 = 1,09 \sigma = 8,6 \text{ eV}$$

وبالمقارنة مع النتائج العملية المباشرة (الجدول 5 - 2) تلاحظ زيادة الاختلاف بين قياس العدد الكثلي للذرة ، وهذا ثانية راجع لسبب اهمال الطاقة الحركية في الحسابات . علما ان الطاقة الحركية موجودة حتى في درجة المفتر المطلق طبقاً لمبدأ عدم الدقة لهيزنبرغ ، كما وأننا ندرس البلورات المثلالية الحالية من أي تشويه أو شوائب (ولكن وجود العيوب والشوائب أمر لا بد منه) .

هــ الانضغاطية ومعامل المرونة الحجمية

: (Compressibility and bulk modulus)

ان معرفة طاقة الرابط (التي تساوي الطاقة الكلية الداخلية عند درجة المفتر المطلق وذلك باهمال الطاقة الحركية لدقائق الصلب) تسمح لنا بحساب الانضغاطية ومعامل الانضغاط الحجمي لبلورة الغازات الخاملة نظرياً ، ثم مقارنة النتائج مع القيم العملية المحسوبة بطرق مباشرة ، وهذه المقارنة تسمح لنا بتقييم صحة النموذج النظري المعتمد .

وإذن نركز بالدراسة على التركيب f_{CC} حيث تتبلور أغلب بلورات الغازات الخاملة . إن المعادلة (5 - 11) تستخدم لحساب فاصلة الجوار الأقرب عند التوازن R . التوازن يعني أوطأ قيمة للمعادلة (5 - 11) :

$$(12-5) \quad U_{\text{tot}} = 2N \epsilon \left[12,13 \left(\frac{\sigma}{R} \right)^{12} - 14,45 \left(\frac{\sigma}{R} \right)^6 \right]$$

$$(13-5) \quad \left(\frac{d U_{\text{tot}}}{d R} \right)_{R=R_0} = 0 \quad \text{فــ } \frac{R_0}{\sigma} = 1,09$$

وهذه النسبة (R_0/σ) نفسها لجميع بلورات الغازات الخاملة . ولكن النتائج العملية تبين اختلافاً عن القيمة النظرية (1,09) فهي تتراوح بين 1,09 للاكتريون (xe) و 1,14 للنيون (Ne) . وهذا مبين في الجدول (5 - 2) حيث نلاحظ أنه كلما قل العدد الكثلي للذرة كلما زاد الاختلاف بين الحسابات النظرية والنتائج العملية المباشرة . وهذا الاختلاف ناتج عن تأثير الطاقة الحركية للذرات عند الصفر المطلق والتي أهملناها في الحسابات ويكون لها تأثير أكبر كلما قلت كتلة الذرة في البلورة .

تعرف الانضغاطية بالعلاقة :

$$(15-5) \quad K = -\frac{1}{V} \left(\frac{dV}{dP} \right)_T$$

حيث V ، P ، T هي الحجم، المضغط درجة الحرارة على التوالي، والتفاضل أعلاه يتم بثبوت درجة الحرارة . ومعامل الانضغاط الحجمي يعرف على أنه مقلوب الانضغاطية

$$(16-5) \quad B = -V \left(\frac{dP}{dV} \right)_T = \frac{1}{K}$$

ومن قوانين الديناميكا الحرارية تصح المعادلة التالية بثبوت درجة الحرارة T :

$$(17-5) \quad dU = TdS - PdV$$

حيث S - الانتروبيا، U - الطاقة الداخلية الكلية . وعند درجة الصفر المطلق تكون الانتروبيا ثابتة $S_0 = 0$ ، لذلك فالنغير بالطاقة الداخلية الكلية الناتج عن تغير الحجم بثبوت درجة الحرارة يعطى بالعلاقة التالية :

$$(18-5) \quad \frac{dU}{dV} = \left(\frac{dP}{dT} \right)_V = -P \quad \text{أذن :}$$

$$(19-5) \quad B = V \left(\frac{\frac{d^2U}{dV^2}}{P} \right)_T$$

وهذه المعادلة تسمح لنا بحساب معامل المرونة الحجمية بمعرفة الطاقة الداخلية الكلية U (أو طاقة الربط عند 0°C) . وهذا المعامل يعتبر مقياس لقساوة البلورة أو مقياس للطاقة المطلوبة اللازمة لحدث تشوّه معين في البلورة . وكلما كانت B كبيرة كلما كانت البلورة أكثر قساوة .

وبالإمكان دائماً التعبير عن الحجم V بدلالة الجوار الأقرب R . فبمعرفة حجم الخلية الأساسية للتركيب البلوري - وهو الحجم المخصص لذرة واحدة ومن ثم ضوب

هذا الحجم في عدد الذرات نحصل على حجم العينة :

$$(20-5) \quad R = a \quad , \quad V = a^3 N \quad : \quad sc \quad \text{للبلورة المكعبة البسيطة}$$

$$R = \frac{\sqrt{3}}{2} a \quad , \quad V = \frac{a^3}{2} N \quad : \quad bcc \quad \text{للبلورة المكعبة}$$

$$R = a \sqrt{2}/2 \quad , \quad V = \frac{a^3}{4} N \quad : \quad fcc \quad \text{للبلورة المكعبة}$$

نركز بالدراسة على البلورة المكعبة fcc (وهو تركيب بلورات

Xe ، Kr ، Ar ، Ne) حيث :

$$V = \frac{a^3}{4} N = R^3 N / \sqrt{2}$$

والآن نصوغ المعادلة (5 - 12) بدلالة الحجم :

$$(21-5) \quad U_{tot} = \frac{b_{12}}{V^4} - \frac{b_6}{V^2} \quad \text{حيث :}$$

$$(22-5) \quad b_{12} = \frac{1}{2} (12,13) N^5 \epsilon \sigma^{12} , \quad b_6 = (14,45) N^3 \epsilon \sigma^6$$

والآن نقوم بحساب B عند الاستقرار حيث :

$$(23-5) \quad V \rightarrow V_0 = R^3 N / \sqrt{2} = (1,09 \sigma)^3 N / \sqrt{2} \quad \text{أذن :}$$

$$B = \left[V \frac{\frac{d^2U_{tot}}{dV^2}}{V=V_0} \right] = \sqrt{2} \frac{b_6^{5/2}}{b_{12}^{3/2}}$$

$$(24-5) \quad B = \frac{4 \epsilon}{\sigma^3} (12,13) \left(\frac{14,45}{12,13} \right)^{5/2} = 75,15 \epsilon / \sigma^3$$

3 - البلورات الأيونية .

عند تقارب ذرتين، في الأولى الكترون واحد عند فقده تصبح كل مدارات الذرة معلقة (مثل Na^+ و Cl^-) وفي الثانية تقص الكترون واحد عند إضافته تصبح كل مدارات الذرة معلقة (مثل K^+ و S^{2-}) .

فإن التفاعل الذي يتم بينهما هو هذه "الرغبة" في كليهما بانتقال الكترون واحد من الصوديوم إلى ذرة الكلور. فيتحول كلاهما إلى أيونات Na^+ و Cl^- ، عند ذلك يتجاذبان بقوة كولومية تسمى بالاصرة الأيونية .

والاصرة الأيونية توجد على الخصوص في بلورات هاليدات القلوبيات (Alkali - halides) التي تأخذ التركيب البلوري ذو الفئة المكعبية تحت الضغط الاعتيادي . فالإيجون الموجب هو أحد ذرات المعادن القلوبيات (Li^+ أو K^+ ، Rb^+ ، Na^+ ، Cs^+) والأيجون السالب هو أحد الهالوجينيات (I^- أو Br^- ، Cl^- ، F^-) .

وكل بلورات هاليدات القلوبيات تتبلور بصورة NaCl ما عدى CsCl ، CsBr ، CsI ذات التركيب CsCl وذلك في الظروف الاعتيادية .

ولكي تتكون البلورات الأيونية لابد من توزيع الأيونات الموجبة والسلبية في الشبكة البلورية بحيث تكون قوة التجاذب بين الأيونات المختلفة أكبر من قوة التناقض بين الأيونات المشابهة . كما نذكر بعدم امكانية تجزأة البلورة إلى جزيئات مثل جزيئية NaCl ، فالبلورة كلها تعتبر جزيئية كبيرة، ونذكر أنه ليس من الشرط أن يتم التفاعل بين الذرات لتكون البلورة بانتقال الكترون واحد من ذرة

ويلاحظ من الجدول (5-2) تطابقاً جيداً بين القيم النظرية لحساب B والقيم العملية المباشرة خصوصاً للعناصر الثقيلة . والاختلاف بين النظرية والعملية يكبر بنقصان B . وهذا الفرق، كما أسلفنا في حالات أخرى، ناتج عن اهمالنا للطاقة الحركية عند الصفر المطلق والتي تكبر كلما كانت الذرات أخف .

وأخيراً نذكر أن قوة فاندر والز تظهر ليس فقط في الحالة الصلبة (وليس فقط للبلورات الجزيئية فهي موجودة في بلورات ولكن تأثيرها قليل ومهملاً مقارنة مع كبر الاواصر في تلك البلورات) بل وكذلك تظهر في الحالة السائلة والغازية وأول من انتبه لهذه القوة هو العالم فاندر والز (الذلک سميت القوة باسمه) حيث أدخل معادلة الحالة للغازات الحقيقة في الديناميكا الحرارية :

$$(25-5) \quad (P + \frac{a}{V^2}) V = RT$$

حيث أدخلت التصحیحات التالية على معادلة الغاز المثالي $PV = RT$: a : عامل التفاعل بين الذرات، b : عامل متعلق بحجم الذرات في الغازات الحقيقة .

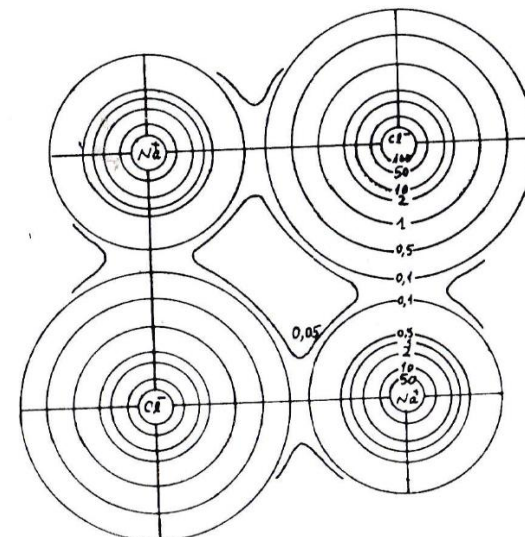
قوى - فاندر والز لا تظهر فقط مبنية على أساس عزوم شائیات القطب الآنية، بل وتظهر أيضاً بين الجزيئاتقطبية التي لها عزوم شائیات قطب دائم مثل H_2O ، H_2S ، ... الخ. وكما علمنا أن آصرة فاندر والز ضعيفة جداً بالنسبة لبقة الأواصر فمثلاً تأخذ غاز الكلور Cl_2 : ترتبط كل ذرتين $\text{Cl}-\text{Cl}$ بأصرة تساهمية طاقتها $2,48 \times 10^{-21} \text{ N}$ ، وترتبط جزيئات الكلور Cl_2-Cl_2 مع بعضها بأصرة فاندر والز طاقتها $0,218 \times 10^{-21} \text{ N}$ تحسب من حرارة التعيير .

طاقة ربط (تكوين) البلورة هو مجموع الطاقة المتبادلة بين كل أزواج الايونات، وهذه الأخيرة تحدد أساساً بالطاقة الكهروستاتيكية . معنى هذا أن طاقة الربط تعتمد من الفرق بين طاقة البلورة وطاقة الايونات المترافق، وهذه الأخيرة تحسب من طاقة الذرات المنفردة آخرين في الحساب طاقة تأين الذرة وطاقة التحام الالكترون، أو طاقة الالفة الالكترونية (Affinity energy). فمثلاً، لو كوننا نظرياً ببلورة NaCl من ايونات Na^+ و Cl^- فاننا نؤين كل ذرة من ذرات الصوديوم باعطائها طاقة $5,14 \text{ eV}$ ليكون "غاز" Na^+ مع الالكترونات. نضيف هذه الالكترونات الى كل ذرات غاز الكلور فيكون غاز Cl^- وتنطلق طاقة التحام مقدارها $3,61 \text{ eV}$ لكل ايون. طاقة الايونات المنفصلة أكبر من طاقة الذرات المنفصلة بالمقدار $3,61 - 5,14 = 1,53 \text{ eV}$. وطاقة الربط في بلورة NaCl تساوي عملياً $7,9 \text{ eV}$ لكل زوج من الايونات Na^+ و Cl^- (أو لكل "جزئية" NaCl). وهذه الطاقة محسوبة بالنسبة لطاقة الايونات المنفصلة . معنى هذا أن طاقة تكوين البلورة بالنسبة لـ (أو ابتداءً من) الذرات المنفصلة تساوي $7,9 - 1,53 = 6,37 \text{ eV}$ ولتكنا ندرس طاقة الربط بالنسبة لطاقة الايونات المنفصلة أي $7,9 \text{ eV}/\text{جزئية}$. وهذه القيمة من رتبة $5,1 \text{ eV}$ وهي الطاقة الكولومية بين ايوني Na^+ و Cl^- على مسافة $2,8 \text{ \AA}$ من بعضهما.

* مسافة الجوار الأقرب لبلورة NaCl .

الى آخرى، فقد يكون العدد أكبر أو "أقل" * من الالكترون واحد، كما قد لا يكون الاستقال كلياً وفي كل الوقت . وهذه الاحتمالات تبين وجود آصرة أيونية - تساهمية وليس أيونية محظة . ونسبة وجود عنصر التساهم في الآصرة يعتمد على نسوع الذرات، التركيب البلوري، مسافة الجوار الأقرب، العدد التناصي. على كل حال فالموضوع هذا بعيد عن اطار هذا الكتاب.

والشكل (5 - 5) يبيّن توزيع الكثافة الالكترونية في بلورة NaCl حيث يكون التوزيع كروياً حول الايونات، وتهسيط الكثافة كثيراً في المناطق بين الايونات: كثافة الالكترونات تبلغ $50 \text{ الکترون / } \text{\AA}^3$ عند قلوب الايونات بينما تبلغ $0,05 - 0,1 \text{ الکترون / } \text{\AA}^3$ في الفضاء بين الايونات.



شكل (5 - 5)

* في المعدل الزمني؛ مثلاً يصرف الالكترون الذرة A وقتاً أكبر قرب الذرة B مما هو عليه لالكترون فرب A . عندئذ تعتبر كلاً الذرتان A و B (للمركب AB) متأينة جزئياً والآصرة بينهما أيونية - تساهمية . وهذا النوع من الأوصاف مهم في المركبات ذات التركيب S - ZS.

١ - طاقة مدلونك

الطاقة الكولومية المتبادلة بين أيونين شحنتاهما $q^{(+)}$ تساوي :

$$r_{ij} / 4\pi\epsilon_0 r_{ij}^2 q^{(+)}$$

(وحدات NKs) حيث r_{ij} - المسافة بين مركزي الأيونين i و j ، وتحتاج الشحنة المختلطة الاشارة . لذلك فطاقة الأيون i المتبادل مع كل * أيونات البلورة j تساوي :

$$(27-5) \quad \sum_{j \neq i} \frac{q^2}{4\pi\epsilon_0 r_{ij}} = \sum_{j \neq i} \frac{q^2}{R} = \frac{q^2}{4\pi\epsilon_0 R}$$

حيث جعلنا $r_{ij} = R$ $P_i = \frac{q}{r_{ij}}$ - تحسب المسافة بين الأيون i وأي أيون آخر في بدللة مسافة الجوار الأقرب R . والطاقة الكولومية (الكهربوستاتيكية) لكل البلورة المكونة من N أيون (أو $N/2$ جزيء) تساوي :

$$(28-5) \quad \text{طاقة} = -N \frac{q^2}{4\pi\epsilon_0 R}$$

حيث :

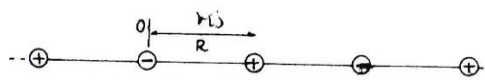
$$(29-5) \quad \text{طاقة} = \sum_j \frac{q^2}{r_{ij}}$$

والطاقة طاقة تسمى طاقة مدلونك ، والاشارة السالبة متأتية من أن الجوار الأقرب للأيون i هي أيونات j مخالفة له بالاشارة ، وبحكم الدور الأكبر للأيونات الجوار الأقرب في الكمية طاقة لذلك تكون هذه الكمية طاقة سالبة دائماً . والقيمة طاقة تسمى ثابت مدلونك وهذا الثابت مهم جداً في فизياء الحالة الصلبة . ويتم حساب هذا الثابت من المعادلة التالية :

* لأن مدى القوة الكولومية كبير جداً وأكبر من مدى تفاعل الدايسولات .

$$(30-5) \quad \infty = \sum_j \frac{(\pm)}{r_{ij}}$$

حيث r_{ij} - بعد أيون i عن الأيون المعين j . وأشارة الحد تؤخذ بناءً على اشارة الأيون j بالنسبة لاشارة الأيون المعين i ، فإذا كانا بنفس الاشارة فنأخذ الاشارة السالبة وإذا تناقضَا فنأخذ الاشارة الموجبة . ومثال على حساب ∞ نأخذ سلسلة لا نهاية من الأيونات المتناوبة الاشارة كما في الشكل (5 - 6) : نأخذ



شكل (5 - 6)

الأيون السالب "0" ليكن الأيون i أما باقي الأيونات فهي الأيونات j ، اذن:

$$\infty = 2 \left(\frac{1}{R} - \frac{1}{2R} + \frac{1}{3R} - \frac{1}{4R} + \dots \right)$$

$$(31-5) \quad \infty = 2 \left(1 - \frac{1}{2} + \frac{1}{3} - \frac{1}{4} + \dots \right) = 2 \ln 2$$

$$\text{وذلك لأن: } \ln(1+x) = x - \frac{x^2}{2} + \frac{x^3}{3} + \dots$$

وفي حالة البلورة الفضائية تتعدد الحسابات كثيراً حيث لا توجد طريقة لحساب ∞ مبنية على أساس كثافة عناصر المتسلسلة في تدرج معين ، وفوق ذلك يجب أن تكون متسلسلة حساب ∞ متقاربة أو مرتبة بحيث تلغى أغلب عناصرها مع بعضها: ولفهم هذه الصعوبة نأخذ حالة حساب ∞ لملح الطعام . نأخذ الأيون $(+)\text{-أيون}$ بدایة الحسابات هو Na^+ : هذا الأيون محاط بـ

(1) الجوار الأول (الأقرب) : وهي ستة أيونات سالبة على بعد $\frac{a}{2}$. (حيث a - طول ضلع المكعب الاصطلاحي للبلورة $(NaCl)$.)

(2) الجوار الثاني وهي أثنا عشر أنيوناً موجباً على بعد $\sqrt{2}/2 a$.

لها الجزء من الشبكة البلورية * (المنطقة II)، وهكذا نستمر في العملية حيث نلاحظ أن $\alpha_1 + \alpha_2 + \alpha_3 > \alpha_1 > \alpha_2$. ومعامل مدونك يحسب من المتسلسلة المتقاربة: $\alpha_1 + \alpha_2 + \alpha_3 = \alpha$ ، حيث تكفي ثلاثة أو أربعة حدود للحساب.

والنكرة الغيرية لهذه الطريقة تعتمد على حقيقة أن الجهد الناتج في نقطة معينة عن مجموعة شحنات مجموعها معدوماً يهبط عند ابعاد الشحنات عن النقطة (أو العكس) بشدة أكبر مما هو عليه عندما يكون مجموع الشحنات يساوي كمية غير معدومة. (جهد الشحنة النقطية يتناصف مع $\frac{1}{r^2}$ ، وثنائي القطب مع $\frac{2}{r^3}$ ورباعي القطب $\frac{3}{r^4}$... الخ.).

وسوف نتناول تفاصيل طريقة أيفن في أ. سلة . نهاية الفصل ولكننا نتعامل الآن مع نتائجها التالية:

جدول (5 - 3)

التركيب البلوري للمركب	التركيب البلوري للعنصر
1,74756 <chem>NaCl</chem>	مكعب bcc
1,76267 <chem>CsCl</chem>	مكعب fcc
1,6381 <chem>ZnS</chem>	مكعب sc الماسي سداسي hcp

* أي نحسب جهد شحنات المنطقة II والتي لم تكن قد حسبت سابقاً أي لم تكن مشهولة ضمن المنطقة I.

* وقد يستوجب هذا حتى تجزأة مقادير شحن الأيونات نفسها.

$$(3) \text{ الجوار الثالث: وهي ثمانية أيونات سالبة على بعد } a\sqrt{3}/2 \text{ الخ. مع العلم أن } \frac{a}{R} = \frac{1}{2} \cdot$$

وتطبيق المعادلة (5 - 30) نجد :

$$(32-5) \quad \frac{\alpha}{R} = + \frac{6}{R} - \frac{12}{\sqrt{2}R} + \frac{8}{\sqrt{3}R} \dots \\ = + \frac{6}{1} - \frac{12}{\sqrt{2}} + \frac{8}{\sqrt{3}} \dots$$

وهذه المتسلسلة ((غير جيدة)) لأنها غير متقاربة ولا تنافي عناصرها الموجبة بالسالبة.

ويمكن حساب α بمحاولة "صنع" متسلسلة متقاربة، وهذه الطريقة مقترحة من قبل العالم أيفن (1921) وتلخص بما يلي: نأخذ أيوناً معيناً (أ) من التركيب البلوري ثم نحدد من حوله في الشبكة البلورية مجموعة من الأيونات القريبة منه (وليس من الشرط أن تكون الجوار الأقرب) بحيث يكون مجموع شحنها مع الأيون (أ) كمية معدومة *، نحسب α لهذا الجزء من الشبكة (تسميه المنطقة I) البلورية طبقاً للعلاقة (5 - 30). ثم نأخذ مجموعة الأيونات المحاطة بالمنطقة I لتشكل مع أيونات المنطقة I منطقة تسمى المنطقة II (أي أن المنطقة I تقع ضمن المنطقة II) بحيث يكون مجموع شحن المنطقة II معدوماً أيضاً ونحسب α طبقاً للعلاقة (30-5)

ب - طاقة الربط :

حيث λ - عدد الجوار الأقرب، R - فاصلة الجوار الأقرب، والطاقة التنافريّة الكلية للبلورة ذات $2N$ أيون تساوي:

$$(35-5) \quad U_{tot}^{(2)} = N Z \lambda e^{-R/\rho}$$

وطاقة الربط (باهمال الطاقة الحركية عند درجات الحرارة المنخفضة) تساوي:

$$(36-5) \quad U_{tot}^{(1)} = N Z \lambda e^{-R/\rho} - \frac{1}{4\pi\epsilon_0 R} \alpha_1 \lambda^2$$

وفي حالة الاتزان نجد:

$$\left(\frac{dU_{tot}}{dR} \right)_{R=R_0} = 0$$

$$(37-5) \quad R_0^2 e^{-R_0/\rho} = \frac{\alpha_1 \lambda^2}{4\pi\epsilon_0 Z \lambda}$$

وهذه المعادلة تحدد فاصلة الجوار الأقرب عند التوازن R_0 بمعنون الثوابت ρ و λ .
ويعوض المعادلة (35-37) في (36) تحمل على طاقة البلورة الكلية عند

التوازن :

$$(38-5) \quad U_{tot} = -\frac{N Z \lambda^2}{4\pi\epsilon_0 R_0} \left(1 - \frac{\rho}{R_0} \right)$$

وحيث أن $R_0 = 0.1 \rho$ (سنيين أن $R_0 = 0.1 \rho$) لذلك فالطاقة الكلية تحدّد أساساً بطاقة مدونك الكولومبية.

وبالإضافة إلى القوى الكولومية الجاذبة، توجد قوى أخرى غير كولومية تافرة تمنع المزيد من الاقتراب بين الأيونات، وأساسها (كما أسلفنا سابقاً) معتمد على نظرية باولي: محاولة منع تراكب الغيم الإلكتروني للأيونات المتجاورة والتي تكون حالاتها الكمية مشغولة. فعند اقتراب أيون $-e$ الذي مداره الخارجي 3ρ ممتنع من أيون $+e$ الذي مداره الخارجي 2ρ ممتنع أيضاً، إلى حد حدوث تراكب المدارات 3ρ و 2ρ ، فإن عدد الإلكترونات في كل منها سيكون أكبر من الكمية التي يحتاجها على أساس مبدأ باولي. لذلك فإن قسم من الإلكترونات تتقلّل إلى مستويات طاقة أعلى (مثلاً $3d$ أو $4s$). وهذه العملية تؤدي إلى زيادة طاقة المجموعة وبالتالي إلى ظهور قوة تنافر تحاول أن تمنع حدوثها أو تحاول أن تمنع عملية التراكب نفسها أو تحاول عرقلة عملية الاقتراب.

وحيث أن القوى التنافريّة غير الكولومية ذات مدى قليل جداً لذلك فهي تظهر فقط كقوى بين أيونات الجوار الأقرب. والتحليلات بيّنت أن طاقة القوى التنافريّة توصف بالمعادلة التالية :

$$(33-5) \quad U^{(2)} = \lambda e^{-r_{ij}/\rho}$$

حيث r_{ij} - المسافة بين الأيونين i و j المتفاعلين، λ و ρ - ثوابت تحدّد من تجارب قياس ثوابت الشبكة والانضغاطية.

والطاقة الكامنة للأيون i نتائجه تفاعله مع أقرب جيرانه (حيث $R_i = r_{ij}$) تساوي:

$$(34-5) \quad U_i^{(2)} = \sum_{j=1, j \neq i}^Z \lambda e^{-r_{ij}/\rho} = Z \lambda e^{-R_i/\rho}$$

جـ- معامل المرونة الحجمية:

رأينا أن عبارة الطاقة الكلية للبلورات الأيونية تعتمد أساساً على الثابتين R_0 و ρ . الثابت R_0 يحدد بدقة من انبعاث الأشعة السينية، أما الثابت ρ فينبع من قياس معامل المرونة الحجمية.

وفي درجة الصفر تصبح العلاقة:

$$B = V \left(\frac{d^2 U_{tot}}{dV^2} \right)_T$$

حيث V - حجم البلورة. والآن نجري الحسابات للتركيب البلوري NaCl .

الحجم المشغول من قبل NaCl يساوي $V = 2NR_0^3$ حيث $R = \text{جيزة الجوار الأقرب}$ (ان الحجم المخصص لجزيئه واحدة - أيون Na^+ وأيون Cl^-) هو $a^{3/4}$ حيث $a = 2R$ ولدينا:

$$\frac{dU}{dV} = \frac{dU}{dR} \frac{dR}{dV} + \frac{d^2 U}{dR^2} \frac{d^2 R}{dV^2} + \left(\frac{dR^2}{dV} \right) \frac{d^2 U}{dR^2}$$

و عند التوازن يتعدم الحد $\left(\frac{dU}{dR} \right)_{R=R_0} = 0$. اذن :

$$(39-5) \quad B = \left[V \frac{d^2 U}{dR^2} \left(\frac{dR}{dV} \right)^2 \right]_{R=R_0}$$

لدينا:

$$\left(\frac{dR}{dV} \right)_{R=R_0} = \frac{1}{(dV/dR)_{R_0}} = \left(\frac{1}{6NR_0^2} \right)_{R_0} = (6NR_0^2)^{-1}$$

و كذلك من المعادلة (36) نجد:

$$\left(\frac{d^2 U}{dR^2} \right)_{R=R_0} = \frac{Nz\lambda}{\rho^2} e^{-R_0/\rho} - \frac{2N\alpha_1 g^2}{4\pi\epsilon_0 R_0^3} = \frac{N\alpha_1 g^2}{4\pi\epsilon_0 R_0^3} \left(\frac{R_0}{\rho} - 2 \right)$$

و منه نجد:

$$(40-5) \quad B = \frac{\alpha_1 g^2}{4\pi\epsilon_0 \cdot 18 R_0^9} \left(\frac{R_0}{\rho} - 2 \right)$$

وهذه المعادلة الأخيرة تعطي إمكانية حساب B بقياس R_0 و ρ عملياً، ومن ثم ومن خلال العلاقة (38-5) نستطيع حساب طاقة الربط التي تقارن مع النتائج العملية المباشرة والتي تقايس على أساس حرارة التمييع مثلاً.

فمثلاً تأخذ بلورة كلوريد البوتاسيوم KCl التي تخضع للمعادلات أعلاه لأن تركيبها البلوري هو من النوع NaCl : قياس الكميات التالية عند درجات حرارة مقابرة للصفر المطلق:

$$B = 1,97 \times 10^{10} \text{ دين} \times \frac{1,97 \times 10^{-11}}{\text{متر}^2} = 1,75 \text{ و نيوتن} = R_0 = 3,14 \text{ Å}$$

وباستعمال العلاقة (5-40) نجد:

$$(41-5) \quad \frac{R_0}{\rho} = \frac{18R_0^4 B}{\alpha_1 g^2} + 2 \approx 10,4$$

(باستعمال وحدات CGS ، عند الانتقال من الوحدات CGS إلى الوحدات SI). معنى هذا أن تفاعل التناحر يظهر بحسب $\frac{2}{9} \times 10^{-8}$. وبمساعدة النسبة (5-41) نحسب طاقة الربط للجزيئه الواحدة من المعادلة (38-5) :

$$(42-5) \quad \frac{U_{tot}}{N} = -\frac{\alpha_1 g^2}{R_0} \left(1 - \frac{\rho}{R_0} \right) \approx -7,26 \text{ eV.}$$

والقيمة العملية المباشرة هي $-7,39 \text{ eV}$ ، لذلك فالتطابق جيد. والثابت λ

يحدد بطاقة التناحر ويحسب من المعادلة (5-37) :

$$(43-5) \quad z\lambda = \frac{\alpha_1 g^2 R_0 / \rho}{R_0^2} e \approx 3,8 \times 10^{-8}$$

حيث $z = 6$ ، أذن $\lambda = 3,8 \times 10^{-8} \text{ آرك}$: ومن هذه القيم نستطيع رسم منحني

الطاقة (U) لـ كل جزء مع المسافة R بين الأيونات :

$$(44-5) \quad \frac{U_{tot}^{(1)}}{N} = \frac{25,2}{R} eV \quad \text{و} \quad \frac{U_{tot}^{(2)}}{N} = 2,4 \times 10^4 e^{-R/0,3} eV.$$

وهذا مبين في الشكل (5-7)

جدول (4-5)						
				نطري	عملية	مول
				$U_{tot} (R_0)$ كيلو سعرة		
$R_0 (\text{\AA})$	$B (10^{-8} \text{ دين}^{-1})$	$\rho (\text{\AA})$	$Z (10^{-8})$	(دين) ⁻¹		
LiF	2,014	6,71	0,296	0,291	- 242,3 (- 246,3)	- 242,2
$LiCl$	2,570	2,98	0,490	0,330	- 198,9 (- 201,8)	- 192,9
$LiBr$	2,751	2,38	0,591	0,340	- 189,9	- 181,0
LiI	3,000	1,71	0,599	0,366	- 177,7	- 166,1
NaF	2,317	4,65	0,641	0,290	- 214,4 (- 217,9)	- 215,2
$NaCl$	2,820	2,40	1,05	0,321	- 182,6 (- 185,3)	- 178,6
$NaBr$	2,989	1,99	1,33	0,328	- 173,6 (- 174,3)	- 169,2
NaI	3,237	1,51	1,58	0,345	- 163,2 (- 162,3)	- 156,6
KF	2,674	3,05	1,31	0,298	- 189,8 (- 194,5)	- 189,1
KCl	3,147	1,74	2,05	0,326	- 165,8 (- 169,5)	- 161,6
KBr	3,298	1,48	2,30	0,336	- 158,5 (- 159,3)	- 154,5
KI	3,533	1,17	2,85	0,348	- 149,9 (- 151,1)	- 144,5
RbF	2,815	2,62	1,78	0,301	- 181,4	- 180,4
$RbCl$	3,291	1,56	3,19	0,323	- 159,3	- 155,4
$RbBr$	3,445	1,30	3,03	0,338	- 152,6	- 148,3
RbI	3,671	1,06	3,99	0,348	- 144,9	- 139,6

1 - المرجع من كتاب كتل (مقدمة في فيزياء الحالة الصلبة)

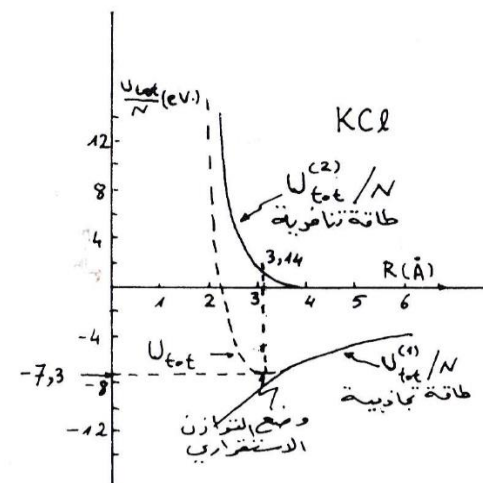
2 - كل القيم العملية مأخوذة في درجة حرارة الغرفة عدي التي بين الأقواس فهي مأخوذة "عند" درجة حرارة الصفر المطلق تحت ضغطاً صفرياً.

3 - القيمة Z محسوبة من المعادلة (5-40) و (5-43) باستعمال القيمة التجريبية R_0 . وللتركيب $NaCl$ (وهو نفس تركيب كل البلورات في الجدول) تكون $Z = 6$.

4 - الثابت ρ محسوب بالمعادلة (5-40) على أساس القيم العملية R_0 , B , Z .

5 - طاقة الرابط محسوبة بالمعادلة (5-38) على أساس القيم العملية B , R_0 , Z . علماً أن (كيلو سعرة / مول) = 0,0433 الكترون فولت / ذرة .

شكل (7-5)



٤ - البلورات التساهمية (Covalent crystals)

ان وجود الأواصر الأيونية أو قوى فان - در - والر لا يمكن أن يفسر وجود الجزيئات N_2 ، O_2 ، ... الخ. كما لا يفسر أيضاً طبيعة الأواصر المكونة للبلورات ذات التركيب الماسي (C ، Si ، Ge). فالذرات المتماثلة المتعادلة لا يمكن بتفاعلها من تكوين أيونات مترافقاً بطريقة إعادة توزيع الالكترونات الخارجية* مثل الذي يحدث عند تفاعل (مثلاً) ذرة معدن الصوديوم مع ذرة الكلور . ومن الجهة الأخرى فإن الطاقة الرابطة لجزيئات الهيدروجين أو بلورة الماس ($7,3 \text{ eV}$) أكبر من أن تتحققها آمرة فان - در - والر بمفردها (رابطة فان - در - والر موجودة في الحالة الراهنة ولكنها لا تلعب دوراً أساسياً). مثل هذه الأواصر تسمى تساهمية.

ان التساهم يعني أن الكترون الذرة A (مثلاً) يبقى عندها وقتاً يقدر بقائه عند الذرة الأخرى B المتفاعلة مع A تساهمياً والعكس بالعكس (تساهم متساوي). والتساهم مهم إذا كانت القشرة الالكترونية الخارجية للذرات المتفاعلةنصف ممتلئة مثل الكربون : فلذرة الكربون (A) أربعة الكترونات في القشرة الخارجية (التي تغلق بثمانية) لذلك تتتشوه هذه القشرة بحيث تساهم هذه الالكترونات الأربع مع الكترونات أربعة ذرات (B) الجوار الأقرب (من كل ذرة الكترون واحد مساهم) مما يؤدي إلى اغلاق قشرتها (A) الخارجية مشكلة بذلك أزواجاً من الالكترونات ذات سبيطات متعاكسة . ونفس الحال ينطبق على كل ذرات الكربون (B) في الماس مؤدياً إلى حصول الشكل البلوري الخاص به (أنظر الشكل ١ - ١٦ ج).

وتتمتع البلورات أو الجزيئات ذات الأواصر التساهمية بالخصائص التالية :

١ - فاصلة الجوار الأقرب تكون مغيرة جداً مقارنة مع الحال بالنسبة لبعض الأواصر. فمثلاً المسافة بين ذرتين C - C في جزيئه C_2 تساوي 1.3 \AA بينما

* الآمرة الأيونية تحدث في بلورات مركب من نوعين من الذرات: الا ولها طاقة تأين قليلة وللآخر طاقة أُلفة الكترونية قليلة أو أن الفرق بين طاقتي الألفة الالكترونية لهما كبيرة .

المسافة بين ذرات الاركون في بلورته تساوي 3.76 \AA .

٢ - طاقة التكوين للبلورات أو الجزيئات التساهمية كبيرة . ومعامل المرونة الجمجمية يكون كبير أيضاً (طبعاً بالنسبة لبقية الأواصر).

٣ - بالنسبة للبلورات التساهمية يكون عدد ذرات الجوار الأقرب محدداً وثابتاً، فكل ذرة لها القدرة على تكوين أواصر تساهمية مع عدد محدد من الذرات المجاورة وذلك اعتماداً على نوع تلك الذرة . وهذا العدد يساوي أربعة في حالة البلورات ذات التركيب الماسي. أما ذرة الهيدروجين فتشكل آمرة تساهمية مع ذرة أخرى واحدة فقط من الهيدروجين مكونة جزيئه H_2 . وهذه الخاصية تسمى بالأشباع.

٤ - عند تكون آمرة تساهمية لذرة ما مع ذرة أخرى فإن هذه الآمرة ستكون في تلك الاتجاهات حيث موقع أكبر جزء من الفيضة الالكترونية المحيطة بنواة الذرة . وعند تكون الآمرة سيتخرج عن تراكب الغيم الالكتروني في تلك الاتجاهات كثافة الكترونية عالية . معنى هذا أن الآمرة التساهمية ذات طبيعة اتجاهية فمثلاً في بلورات C ، Si ، Ge ذات التركيب الماسي تكون كل ذرة موجستة وسط رباعي سطوح متكون من أربعة ذرات الجوار الأقرب مرتبة بشكل معين محدد (أنظر الشكل ١ - ١٦ ج)، وهذا التوزيع الذري لا يتلائم مع فكرة العبة الكثيفة بالدليل أن معامل التعبئة يساوي ٠,٣٤ وعدد الجوار الأقرب أربعة (بدلاً من ١٢ للعبة الكثيفة) .

٥ - تتحقق الآمرة التساهمية الواحدة بالكترونيين متعاكسيين بالبرم α من كل ذرة للمركب أو العنصر يساهم الكترون واحد لتكون آمرة واحدة . والالكترونات المكونة للأمرة "تحاول" أن تتووضع في الفضاء بين الذرتين المرتبطتين بهذه الآمرة .

وأن نفحص النقطة (5) في حالة جزيئه الهيدروجين: الشكل (5 - ١٧) يمثل ذرتان هيدروجين H واقعتان على مسافة 1.3 \AA كبيرة نسبياً . الذرة A نواتها α

E_2 - طاقة الإلكترون في ذرته،
تعني مؤشر لابلاس بدالة أحداثيات الإلكترون (1).

والحسابات بيّنت أنه عندما تكون $r = 50 \text{ \AA}$ فان كل الكترون يوجد عند نواة غيره مرة كل 10^{12} سنة (1)، أي أن الذرتان A، B متعزلتان عن بعضهما. وطاقة المجموعة تساوي E_2 حيث E_2 - طاقة الذرة المعزولة في الظبيروف الطبيعية.

وعند اقتراب الذرتان من بعضهما البعض فان احتمال انتقال الإلكترونات إلى كلا النواتين تزداد، فعند $r = 2 \text{ \AA}$ فان الغيفتين الإلكترونيتين تترافقان عندئذ بتردد تردد الانتقال (مثلاً انتقال الإلكترون 1 نحو النواة b) تزداد إلى 10^{14} في الثانية. وعند مریداً من الاقتراب فان درجة التراكب تزداد وتزداد تبادل الإلكترونات لمواضعهما تزداد بحيث يفقد معنى الحديث عن انتفاء الإلكترون (1) إلى الذرة A وال الإلكترون (2) إلى B. أي يستنشأ حالة (state) جديدة تحسب من انتفاء الإلكترونات إلى نواتين، أي مشاعرة الإلكترونات. وتوصف هذه الحالة رياضياً بالدالة $\Psi_{(1,2)}$ التي تتحقق معادلة شرويدنجر.

$$(47-5) \quad [H^0 + V_{(1,2)}] \Psi_{(1,2)} = E \Psi_{(1,2)}$$

حيث E - طاقة المجموعة.

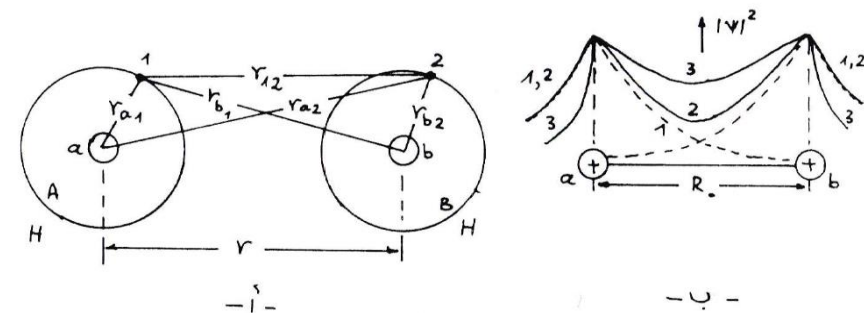
وحيث :

$$(48-5) \quad H^0 = H_a^0 + H_b^0$$

مجموع مؤشر هاميلتون لذرتين متبعديتين من بعضهما بعضاً كافياً أبداً:

$$(49-5) \quad V_{(1,2)} = \frac{e^2}{r_{12}} - \frac{e^2}{r_{\alpha 2}} - \frac{e^2}{r_{b1}} + \frac{e^2}{R}$$

والكترونها 1 والذرة B نواتها b والكترونها 2 . بما أن كثافة الفيضة الإلكترونية الواسعة لحالة الإلكترون في الذرة تهبط بسرعة حسب البعد r عن النواة، لذلك



شكل (5 - 7)

فإن احتمال اكتشاف الإلكترون (1) عند النواة b (أو الإلكترون (2) عند النواة a) صغير للغاية. عندئذ يوصى الوضع الأساسي للإلكترون (1) أو الإلكترون (2) في الحالات $1S$ بالتتابعين الموجيين:

$$(45-5) \quad \Psi_a(x_1, y_1, z_1) = \frac{1}{\sqrt{\pi a_0^3}} e^{-r_{\alpha 1}/a_0} = \psi_a(1)$$

$$\Psi_b(x_2, y_2, z_2) = \frac{1}{\sqrt{\pi a_0^3}} e^{-r_{b2}/a_0} = \psi_b(2)$$

حيث $a_0 = \frac{\hbar^2}{me^2} = 0,53 \text{ \AA}$ - نصف قطر مدار بور وكذلك

$$r_{\alpha 1} = \sqrt{x_1^2 + y_1^2 + z_1^2} \quad \text{و} \quad r_{b2} = \sqrt{(x_2 + r)^2 + y_2^2 + z_2^2}$$

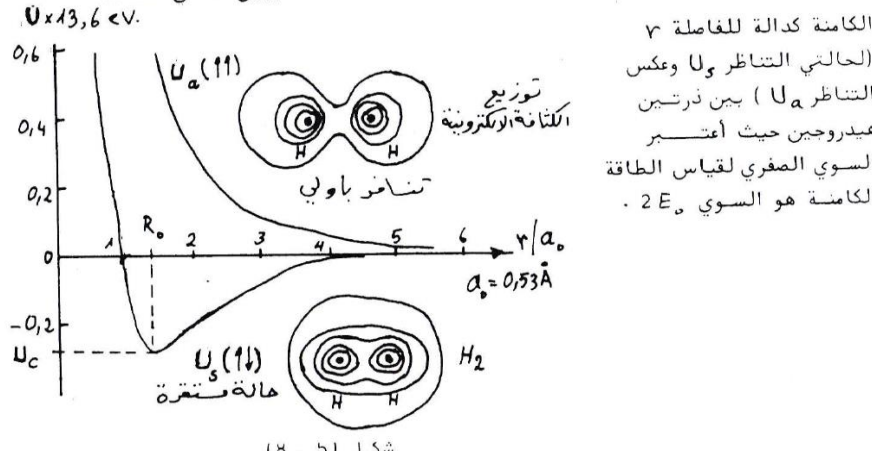
والتتابع الموجية السابقة الذكر تحقق معادلة شرويدنجر:

$$(46-5) \quad H_a^0 \Psi_a(1) = \left(-\frac{\hbar^2}{2m} \nabla_1^2 - \frac{e^2}{r_{\alpha 1}} \right) \Psi_a(1) = E_a \Psi_a(1)$$

$$H_b^0 \Psi_b(2) = \left(-\frac{\hbar^2}{2m} \nabla_2^2 - \frac{e^2}{r_{b2}} \right) \Psi_b(2) = E_b \Psi_b(2)$$

طاقة الذرتان المتعاكستان، κ - الطاقة الكهروستاتيكية المتبادلة (بين الالكترونان والنووتان، وبين الالكترونان بعضهما البعض وبين النووتان او هي سالبة القيمة $< \kappa$).
ان الثابت A فيسمى بطاقة التبادل (وهي تنشأ عن امكانية مبادلة الالكترونان الذرتان لموعيهما) وهي الطاقة الناشئة عن عملية تراكب الغييتين الالكترونويتين عند تكوين الجزيئه وتكون سالبة القيمة $> A$ وبالقيمة المطلقة تكون $|A| > S$. يسمى تكامل اللاءعامة قيمة تتراوح بين $1 \leq S \leq 0$.
وحيث أن $S < 0$ ، $A < 0$ ، $E = S + A$ فان $E < 0$ وهذه الحالة تمثل أصراً تجاذبية، وهي لا تخرج مبدأ باولي لأن الالكترونان متعاكسان بالبرم \downarrow ، معنى هذا أن التراكب يحدث بدون ضرورة لانتقال أحد الالكترونات إلى سنوى طاقة أعلى ، فيمكن لهما اشغال نفس سوى الطاقة \downarrow .

لذلك يمكن أن تتكون جزيئه هيدروجين H_2 بحيث يكون البعد بين النووتين $R = 0.74 \text{ Å}$ وضع التوازن، وعند نقصان المسافة بين النووتين R تصبح أقل من R_0 فانه تبدأ بالظهور قوى تناصر تمنع المزيد من الاقتراب . والشكل (5 - 8) يبيّن منحنى الطاقة



الطاقة الكامنة المتبادلة بين ذرتى الهيدروجين المتقاربتين (والمسافات مؤشرة في الشكل 5 - 7).

وتبيّن أنه مع اشاعة الالكترونات فإن توزيع الكثافة الالكترونية وطاقة المجموعة (4) ستختلف عما هي عليه للذرات المتعاكسة . وفي الشكل (5 - 7 ب) : المنحنيات المتقطعة (1) هي الكثافة الالكترونية للذرات المتمفردة $|A|^2$ ، المنحنيات المنحني 2 - هو المجموع $|A|^2 + |S|^2$ ، والتي يمكن أن تحصل عليها ببساطة لو رأينا الغييتين الالكترونويتين للذرتين المتمفردتين على بعضهما . المنحني (3) هو التوزيع $|A|^2$ للكلافة الالكترونية بين النووتين وذلك عند مشاعنة الالكترونين؛ زيادة قيمة $|A|^2$ على $|S|^2 + |A|^2$ تعنى أن الغيئمة الالكترونية منجدبة في المنطقة بين النووتين . ان ظهور حالة كواتيتية عندها تكون الكلافة الالكترونية عالية بين النووتين تؤدي الى حفظ طاقة المجموعة وبالتالي الى ظهور قوة تجاذب بين الذرتين . ويمكن تصور هذه العملية بأن الغيئمة الالكترونية ذات الكلافة الكبيرة بين النووتين والناشئة عن الالكترونين المشاعنين تؤدي الى جذب النووتان من بعضهما لمزيداً من الاقتراب . مثل هذه الصورة تسمى بالأمرة التساهمية .

وبالاضلاع ، تعتبر طاقة التأثير المتبادل (5 - 7) في المعادلة (47 - 1,2) اضطراباً صغيراً ويمكن تطبيق تقرير نظرية اضطرابات (perturbation theory) والتي سورد نتائجها: الحسابات بيّنت بأنه لهتين الذرتين يمكن أن تتحقق قيمتان للطاقة: (1) - حالة التناظر، وطاقتها:

$$E_s = 2 E_0 + \frac{k + A}{1 + S^2} \quad (50 - 5)$$

وحدث عندما يكون الالكترونان متعاكسان في البرم \downarrow . حيث $E_s = 2 E_0$ - مجموع

التركيب الذري للكربون هو $1s^2 2s^2 2p^2$ بذلك يكون تكافؤه شائئي وعند دخول الكربون في التفاعلات يبدو أن تكافؤه رباعي؟ معنى هذا أن ذرة الكاربون ساده في التفاعلات ليس في التركيب الذري الأساسي السابق بل في التركيب المصطرب: $1s^2 2s^2 2p^3$ ، وهذا يعني أن سبيّنات الالكترونات الأربع في الحالتين $2p_1$ و $2p_2$ يمكن أن تكون متوازية وبالتالي تستطيع هذه الالكترونات تشكيل الرابطة التكافؤية الرابعة. والدراسة بيّنت أن الرابطة بين اتجاهين تكافؤيين من الروابط الاربعة تساوي $109,5^\circ$ (كما في الشكل 1 - 16 ج الماس).
ان ما اطبق على الكربون في الماس ينطبق كذلك على بلورات السليكون والجرمانيوم ذات التركيب الماسي أيضاً. فالالكترونات الخارجية لذرة السليكون $1s^2 2s^2 2p^3$ تصبح في الصورة $1s^2 2s^2 2p^3 3s^1$ عند دخول السليكون في التفاعلات الكيميائية.

ولقد بيّنت التجارب أن الاتحادات الكيميائية من الشكل $A^{III}B^{IV}$ (أي اتحاد عنصري المجموعتين III و IV للجدول الدوري) تؤدي إلى ظهور مركبات لها خواص بلورية والكترونية شبيهة بعنصر المجموعة IV كالسليكون والجرمانيوم. ومن أشهر هذه المركبات هي $InSb$ و $GaAs$. فللانديوم La ثلاثة الالكترونات خارجية وهذا نحصل كما في حالة $InSb$ و $GaAs$ على أربعة الالكترونات s وأربعة p ، فإذا انتقلت s الالكترون p إلى عنصر الانديوم، فيمكن أن تشكل رابطة تكافؤية كما هو الحال للسليكون مثلاً.

ونذكر أخيراً أن المركبات والعناصر ذات الرابطة التساهمية (التفافوية) ذات خصائص اشباه ساقلات كهربائية.

(2) حالة عكس التناظر (Antisymmetry) : وطاقة هذه الحالة تساوي:

$$(51-5) \quad E_a = 2E_0 + \frac{K-A}{1-S^2}$$

وهذه الحالة تحدث عندما يكون للالكترونان نفس البرم (\pm) . ويتحقق من المعادلة (51) أنه طالما أن $K < A < 5$ ، $|A| > |K|$ ، $S < 1$ ، $|A| > 2E_0$ أي أن طاقة المجموعة تزداد (بالنسبة لطاقة الذرتان المنفصلتان) وهذا يؤدي لظهور قوة تنافر من النوع $\frac{1}{r^2}$ أو $\frac{1}{r^6}$ كما في الشكل (5 - 8). وقوة التنافر هذه متناسبة من مبدأ باولي الذي لا يسمح للالكترونان (44) باحتلال نفس سوى الطاقة (أنظر قوة التنافر في آصرة بلورة الغازات الخامدة).

ان وجود حالة الاستقرار في المنحني (51) يبين امكانية وجود جزيئة H_2 متكونة من ذرتين. ولغرض تحطيم جزيئة الهيدروجين يجب صرف عمل يكافئ عمق بئر الكمون E_0 ، والحسابات تبيّن أن: $r_e = 0,735 \text{ \AA}$ ، $r_m = 0,753 \text{ \AA}$ بينما القيمة العملية هي $4,38 \text{ eV}$ و $0,753 \text{ \AA}$ على التوالي.

ويمكن للأصرة التساهمية أن تتولد بين ذرات أخرى غير الهيدروجين يمكن لكتروناتها أن تؤلف أزواجًا ذات سبيّنات متعاكسة:

التركيب الذري للأزوت هو $1s^2 2s^2 2p^3$ وتشير الدراسات إلى أن سبيّنات الالكترونات الثلاثة $3p^3$ متوازية (44)، لذلك ذرة الأزوت مهيّأة لتشكيل ثلاثة روابط تساهمية وهذا ما يجعل الأزوت ثلاثي التكافؤ. ويظهر ذلك جلياً في تكوين الشادر N_3 . أما جيء الأزوت N_2 فمرتبط بأصرة تساهمية لأن الالكترونات الستة (من كل ذرة ثلاثة الالكترونات) تؤلف ثلاثة أزواج من الالكترونات سبيّناتها متعاكسة.

5 - الأصرة الأيونية - التساهمية :

يمكن اعتبار البلورات الأيونية والبلورات التساهمية كحالتين محددتين لحالات لا نهائية للبلورات أيونية - تساهمية . وأصرة هذه البلورات تعتبر مختلطة بين الطبيعة الأيونية والطبيعة التساهمية ، وكل طبيعة درجة (نسبة) مئوية في الأصرة . ودرجة أيونية الأصرة الأيونية - التساهمية تعتمد على طاقتى التأين والالفانة للذرات المساهمة في الأصرة وكذلك تعتمد على ما يسمى بالسلبية الكهربائية (χ) (Electronegativity) : وهي الكمية الواصفة لامكانية ذرة ما على جذب الغيمة الالكترونية المشاعرة عند ما تدخل تلك الذرة في ذلك الجزيء أو تلك البلورة . وتحسب السلبية الكهربائية يكونها تساوي $\frac{1}{2}$ (طاقة التأين + طاقة الالفانة) * . وتعطى χ بوحدات خاصة تسمى وحدات بولنك .

$$\text{فمثلا: } \chi_{\text{Si}} = 1,8 \quad \chi_{\text{Cl}} = 3,0 \quad \chi_{\text{H}} = 2,1$$

والجدول (5 - 6) يبين درجة أيونية الأصرة في بعض البلورات .

جدول (5 - 6) **

البلورة	درجة أيونية الأصرة (تساهمية)	البلورة	درجة أيونية الأصرة
Ge; Si; C; Al-Sn	0 (تساهمية)	CaO	0,80
Sic	0,12	CsCl	0,75
InSb	0,01	KCl	0,70
InAs	0,02	NaCl	0,67
InP	0,04	LiF	0,89
AlSb	0,04	NaF	0,91
BN	0,22	CsF	0,93
GaAs	0,32		

* وتوجد طرق وعلاقة أخرى لحساب χ

** المرجع: بوشمانوف وخراموف: فيزياء الجسم الصلب، ص 48.

والجدول (5 - 5) يعطي النتائج العملية لطاقة الأصرة للجزيئات وطاقة التكوين للبلورات المتكونة على أساس الأصرة التساهمية حيث يتبعن كبر طاقة الأصرة التي تصل إلى $10^5 - 10^6$ جول / مول .

جدول (5 - 5)

جزيئة الغاز	جول $10^5 \times 10^{-5} \text{ جول مول}^{-1}$	البلورة	جول $10^5 \times 10^{-5} \text{ جول مول}^{-1}$
CO	10,8	(C) الماس	6,8
N ₂	9,5	Si	4,4
O ₂	5,0	Ge	3,5

ونذكر أنه قد يصاحب مع الأصرة التساهمية حدوث بعض التأين في حالة التساهم الإلكتروني الغير متساوي - انظر الحاشية تحت الشكل (5 - 5) - . وهذا يؤدي إلى حصول أصرة أيونية - تساهمية .

لذلك - عموما - ينشأ لدينا "طيف" مستمر للبلورات مختلفة حسب تدرج نوع الأصرة اعتبارا من الأيونية المحطة (انتقال الكتروني كلي - ولا يوجد تسامم) إلى الأصرة المستركرة الأيونية - التساهمية (تساهم الكتروني غير متساوي) وأخيرا إلى الأصرة التساهمية المحطة (تساهم الكتروني متساوي) ... يتبع في الفقرة اللاحقة .

٦- الاصرة المعدنية: (Metallic bond)

المعادن هي مجموعة خاصة من المواد التي تتميز بقابلية توصيلها الكهربائي الجيد أو التي تتميز باحتواها على الكترونات حرجة كثيرة (بالنسبة للمواد الأخرى).
ولا يمكن تفسير آصرة المعادن من وجهاً نظر الآصرة الأيونية التي تحدث فقط بين الذرات المختلفة التي لها اختلاف حاد بطاقة الالتحام الإلكتروني (مثل معدن وهالويد فمثلاً هذه الآصرة لا تحصل بين ذرات معدن مشابهة ولها نفس طاقة الالتحام . ومن جهة أخرى لا تملك ذرات المعدن عدد كافي من الكترونات التكافؤ لتكوين أواصر تساهمية مع كل ذرات الجوار الأقرب، فمثلاً تملك ذرة الرصاص الكترون تكافؤ واحد تستطيع به تشكيل آصرة تساهمية مع ذرة واحدة أخرى، بينما نلاحظ من التركيب البلوري لمعدن الرصاص أن كل ذرة محاطة بأشرى عشر من ذرات الجوار الأقرب التي تكون معها أواصر قوى، معنى هذا يستوجب وجود آصرة من نوع آخر لتكوين بلورة المعدن وتسمى بالآصرة (أو الرابطة) المعدنية .

ترتبط الكترونات التكافؤ الخارجية بشكل ضعيف مع ذراتها، لذلك فهي ستترک ذراتها عند ما يتشكل التركيب البلوري وتتصبح مشاعية ((حرة)) داخل البلورة المعدنية وبهذا الشكل تنتصرون المعدن عبارة عن أيونات موجبة تشكل الشبكة البلورية موجودة داخل بحر من الالكترونات المتحركة داخل كل البلورة بطاقة مختلفة مكتملة بسبب التفاعل مع الحقل الكهربائي الدوري للشبكة . وبالامكان اثبات هذا النموذج تجريبيا عن طريق دراسة توزيع الكثافة الالكترونية \neq في البلورة . والشكل(5 - 9) يبين القياسات العملية للكثافة الالكترونية (n) لمعدن الالمنيوم مستحصلة بطريقة الأشعة السينية . ويبيّن البثوث التقريري للكثافة الالكترونية بين الأيونات وزيادتها الحادة عن محيط الأيونات بسبب الالكترونية القلبية- قارن مع الشكل (5 - 5) .

وهكذا نرى أن حالات وجود بلورات ذات أوامر أيونية نقية أو تساهمية نقية قليلة جداً. ودرجة أيونية الآمرة يمكن أن تحسب باستخدام علاقات رياضية خاصة نصف تحريرية.

وطاقة تكوين الأصمة الایونية - التساهمية للذرتين A و B تحسب نظرياً من العلاقة التالية:

$$(52-5) \quad U(A-B) = \frac{1}{2} [U(A-A) + U(B-B)] + 100(\chi_A - \chi_B)^2 + \\ + 6,5 (\chi_A - \chi_B)^4.$$

حيث $(A - A) U$ - طاقة ربط الذرتين A و A . فمثلاً للجزيئة HCl ، من المعلوم أن:

لما $\chi_{Cl} - \chi_H = 0.9$ كيلوجول / مول، لـ $(Cl - Cl) = 243$ مول كيلوجول = 436 كيلوجول مول، اذن كيلوجول / مول = 417 كيلوجول، وهي لا تختلف كثيراً عن القيمة العملية المباشرة 432 كيلوجول والفرق لا يبلغ 4%.

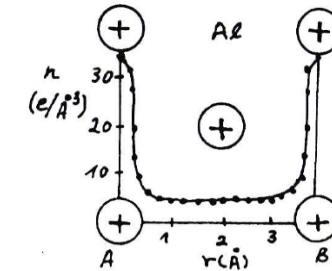
تذكر بعض المراجع بأن وجود الأصارة التساهمية الموجهة (دائماً) ضروري لتكوين التركيب البلوري. فالقوى الكهروستاتيكية مركزية وغير موجهة ولا يمكنها تكوين تركيباً بلورياً مكعباً (مثلاً) مثل MgO و CaF_2 . لهذا فالاصرة التساهمية موجودة دائماً ودرجات متفاوتة متراكبة مع آواصر الانواع الأخرى كالاليونية والمعدنية ... الخ. لذلك يفترض في القوى الكهروستاتيكية أن تقوم فقط بتقريب الذرات من بعضها حتى تتشابك فيما بينها الإلكترونيّة الالكترونية الشكل الهندسي وقد تتجه حالاتها الالكترونية. فخاصية توجه الأصارة التساهمية متآتية من الشكل الغير الكروي للفيوم الإلكترونيّة الخارجية للذرات (المدارات - m) وهذا التداخل يولد قوى تبادلية موجهة هي المسؤولة عن الاشكال البلورية وهي تساهمية الطابع.

تكافؤ ي تتبع كل البلورة.

ولتقدير طاقة الآمرة المعدنية نعتبر في درجة المفتر المطلق جسمًا معدنياً متكوناً من N أيوناً موجباً ومثل هذا العدد من الالكترونات ((الحرة)). ومن وجهة نظر الكهربائية الساكنة، يمكن اعتبار هذا الجسم بلورة أيونية مؤلفة من N أيوناً من نوعين مختلفين. طاقة التفاعل الجاذبة منسوبة لذرة واحدة تحسب من العلاقة التالية:

$$U_{es} = -\frac{e^2}{2r_0} \quad (53-5)$$

حيث r_0 - ثابت مدلونك للتركيب البلوري المدروس، e - تكافؤ ذرة المعدن، $\pi/3$ - نصف قطر كرة الايون الموجب ويعرف بالصورة التالية: حجم الخلية الاولية يساوي $\frac{4}{3}\pi r_0^3$ حيث r_0 - عدد الذرات في الخلية الاولية (أي التي تتناسب للخلية الاولية). ولكن يمكن اعتبار R - فاصلة الجوار القريب بين الايونات الموجبة.



شكل (5 - 9)

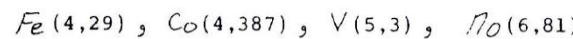
تشكل الآمرة المعدنية نتيجة للتفاعل المتبادل بين الايونات الموجبة والغاز الالكتروني. فالغاز الالكتروني يربط الايونات بأسلوب أسمسي، أو يقوم بمعادلة قوى التناقض بين الايونات الموجبة . وينقمان الفاصلة بين الايونات تزداد كثافة غاز الالكترونات n ، وبسبب ذلك تزداد قوة التجاذب ((الغير مباشرة)) بين الايونات. ومن جهة أخرى يؤدي نقصان الفاصلة بين الايونات الى زيادة قوة التناقض بين الايونات، لذلك تشتمل عن كل هذه القوى حالة استقرارية معينة للشبكة البلورية.

ما جاء أعلاه نستنتج بعض التشابه الظاهري بين الآمرة المعدنية والآمرة التساهمية. فكلها ينشأ عن الالكترونات التكافؤ الخارجية المشاعة. ولكن اشاعة الالكترونات الخارجية في حالة الآمرة التساهمية جزئية عديمة موضعياً، فالاشاعة تشمل زوج من الالكترونات لكل آمرة ، وهذا الالكترونان يتوضعان بين ذرتين أكثر الوقات . أما في حالة الآمرة المعدنية فالاشاعة عامة وشاملة، فكل الالكترونات التكافؤ تشاع لكل البلورة أي لا تتوضع في مكان - ما من البلورة، لذلك فكل الالكترون

* هناك طريقة أخرى معقدة للحصول على نفس هذه النتيجة مهما يكن تكافؤ ذرة المعدن، أي ليس من الشرط تساوي عدد الايونات الموجبة مع عدد الالكترونات.

لا يمكن تطبيق التموزج أعلاه على معادن المجموعة الانتقالية ذات طاقة

التكوين العالية :



بوحدات $\text{Å}/\text{ذرة}$. وهذا يفسّر بوجود روابط أخرى غير المعدنية، كالرابطة التساهمية ورابطة فاندر-والر (الضعيفة) بين الأيونات الموجبة. كما وأن الالكترونات $3d$ (عنصر المجموعة الانتقالية ذات مدار $3d$ غير ممتليء) مع كونها الالكترونات قلبية داخلية لكنها تؤثر بشكل واضح على طاقة التكوين وتوليد الأواصر. وبعض المصادر الحديثة تشير إلى أنه يمكن "تجزأة" الالكترونات المشاعة للمعدن إلى صنفين، صنف "يقيم" آصرة أيونية وصنف ثانٍ "يعمل" آصرة تساهمية.

ولكن طبقاً للمفهوم السابق (المصفحة 300)*، لا تكفي الآصرة المعدنية الكهروستاتيكية وحدها لتوليد التركيب البلوري الخاص بالمعدن. فالقصوة بين الالكترونات المشاعة والأيونات الموجبة غير موجهة ومركبة وتؤدي إلى أحداث تركيب بلوري متراض (12 = Z)، في حالة كروية تتراوح الغيم الالكترونية الخارجية للذرات ولكن أكثر المعادن تتبلور بالتركيب bcc (8 = Z) وهو دليل على وجود درجة معينة من الروابط التساهمية الموجهة التي تستوجب ادخال تصورات عن تأثير التناطر اللاكتروني للأيونات في المعدن. وما يؤكد هذه التصورات: (1) لا يمكن لقوى الآصرة المعدنية - كما علمنا - أن تنشأ فقط على حساب التفاعل المتبادل للكترونات التكافؤ وذلك لقلة عددها. (2) أشغال الالكترونات التكافؤ لموقع في اتجاهات الروابط التساهمية ينافق فكرة الالكترونات الحرة الغير المتوفعة في اتجاهات محددة، وللحصول من هذه المعرفات تعتبر الالكترونات التكافؤ شبه حرة، أي تحتفظ بنموذج مشاعة الالكترونات. أما منشأ التركيب البلوري فيعزى للتتفاعل المتبادل للمدارات الخارجية (ذات التناطر الغير الكروي) لأيونات المعدن، فتظهر درجة معينة للآصرة التساهمية.

* هذا السؤال لم يوجد حلّه النهائي بعد.

حسب μ_{es} لاربعة معادن في الجدول (5 - 7) التالي:

طاقة التكوين
(عملية)

		البلورة العنصر	Z^*	$r_0(\text{\AA})$	α	μ_{es}	$(\mu_{es} - I_c)/d$
Ng	hcp	2	1,77	1,79168	- 29,11	- 6,44	- 1,53
Bc	hcp	2	1,84	1,79168	- 41,53	- 14,0	- 3,33
Na	bcc	1	2,08	1,79186	- 6,19	- 1,05	- 1,13
K	bcc	1	2,57	1,79186	- 5,02	- 0,67	- 0,94

حيث Z^* بوحدات ذرة وطاقة التكوين بنفس هذه الوحدات، I_c - طاقة تأين الالكترونان بالنسبة للمعدنيين Ng و Bc وللإلكترون واحد بالنسبة للمعدنيين Na و K .
ومن الجدول السابق نجد:

(1) الطاقة الكهروستاتيكية سالبة لأنها طاقة جذب، وقيمتها أكبر من طاقة التأين (I_c) بمقدار يقارن مع طاقة التكوين العملية وذلك اعتباراً من الذرات المنفردة المتعادلة.

(2) الاختلاف بين القيم العملية والنظرية لطاقة التكوين (المعدان 7 و 8) وذلك اعتباراً من الذرات المتعادلة قليل في حالتي Na و K بينما يكون كبير جداً في حالتي Ng و Bc . معنى هذا أن طاقة التكوين المحسوبة على أساس المعايرة (53 - 5) تتحقق بشكل جيد لبعض المعادن (مثل القلويات) التي لها طاقة تكوين قليلة والفاصلة بين أيوناتها كبيرة نسبياً.

(3) ولكن حتى هذا التطابق الجيد لبعض المعادن لا يعتمد عليه لأننا في الواقع أهللنا طاقة التناطر التي بدونها تتداخل البلورة على بعضها، وهذه الطاقة متأتية من طاقة التدافع وفق مبدأ باولي وهي تزيد من طاقة الغاز الإلكتروني، وسنعود لدراسة طاقة هذا الغاز لاحقاً.

7 - الاصرة الهيدروجينية :

لذرة الهيدروجين الكترون واحد، وبسبب ذلك يمكنها أن تساهم مع ذرة واحدة من نوع آخر (فقط) مكونة آصرة تساهمية . ولكن عند توفر بعض الشروط فـان ذرة هيدروجين واحدة ترتبط بأوامر مع ذرتين . مثل هذه الآصرة تسمى بالهيدروجينية .

ولتحقيقها يشترط بالذرات المرتبطة مع

ذرة الهيدروجين أن تكون ذات سلبية كهربائية كبيرة (مثل O^- , N^- , F^- , Cl^-)

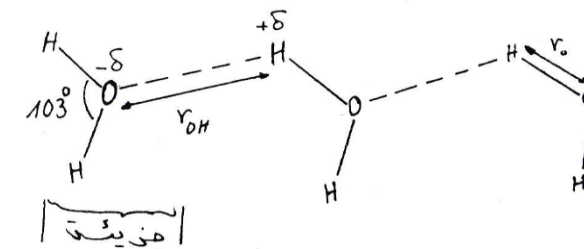
حيث يمكنها من سلب الكترون ذرة

الهيدروجين (التحول إلى أيونات سالبة)

وليتبقى من ذرة الهيدروجين بروتونا .

شكل (5 - 10)

يقوم هذا البروتون بعمل قوة كهروستاتيكية مع الأيونات السالبة . ويستطيع هنا البروتون لصغر حجمه أن يرتبط فقط مع أيونين كما هو واضح في الشكل (5 - 10). وطاقة تكوين الآصرة الهيدروجينية قليلة جدا بحدود $0,1 \text{ eV}$ ذرة .



شكل (5 - 11)

الآصرة الرابطة بين جزيئات الماء تعتبر مثالا على الآصرة الهيدروجينية كما في الشكل (5 - 11). الرابطة $O-H$ بين ذرة الاوكسجين في جزيئة ماء H_2O وذرة هيدروجين من جزيئة أخرى تصوّر كثنائي قطب صغير شحنته $\delta-$ عند ذرة الاوكسجين و $\delta+$ عند الهيدروجين . والتجاذب بين الشختتين يؤدي إلى ظهور آصرة هيدروجينية وهي موضحة في الشكل بخط متقطع (هذا بالإضافة إلى وجود قوى فان-در- والز أو التفاعل الدايبولي - الدايبولي بين جزيئات الماء القطبية) . وهذا الجذب يسمح للبروتون $+H$ (الصغير الحجم) بالاقتراب كثيرا من أيون الاوكسجينين (ذرة الاوكسجين ذات سلبية كهربائية كبيرة) ، ولكن هذه المسافة $= 2,76 \text{ Å}$ أكبر بكثير من المسافة $= 0,96 \text{ Å}$ للآصرة التساهمية بين $O-H$ داخل جزيئة الماء . وهذا طبيعي لأن طاقة الآصرة التساهمية أكبر بكثير من الآصرة الهيدروجينية .

والآصرة الهيدروجينية هي المسؤولة عن "الرابط" وتجمع جزيئات السوائل (ماء، حواضن، كحولات ... الخ) وتؤدي إلى ظهور اللزوجة، وإلى زيادة درجة الغليان وإلى التغير الشاذ بالحجم عند التسخين ... الخ . والدليل في هذه العلاقة هو الماء فإنه يغلي (عند الضغط الجوي الاعتيادي) بدرجة 100°C ، فلو لم تكن هذه الآصرة موجودة لحدث الغليان بدرجة 80°C . أن عدم وجود الآصرة الهيدروجينية في السوائل يعني وجود آصرة فان-در- والز فقط وهذا يمكن ملاحظته كذلك بمقارنة درجة الغليان للسوائل:

H_2S ($60,3^\circ\text{C}$)	H_2O (100°C)	HF (20°C)
آصرة فان-در- والز فقط	آصرة هيدروجينية مع فان-در- والز	

وعند تسخين الماء فوق درجة المفترض 100°C فإن الاصرة الهيدروجينية تتحطم

8 - مناقشة أنواع الأوصار المختلفة :

أثثر الأوصار شمولا هي آصرة فان - در - والر، فهي تظهر في كل الحالات دون استثناء ، ولكنها ضعيفة بحيث أن طاقتها في حدود ($\frac{1}{75}$ درجة $0,1^{\circ}$). وهي (في حالتها النقية) تظهر جلية عند تفاعل الذرات أو الجزيئات المتعادلة الممتثلة المدارات الداخلية . وعلى الخصوص تكون قوة فان - در - والر مسؤولة عن وجود السوائل والحالة الملبة للغازات الخامدة وللاوكسجين وللهيدروجين وللتتروجين وللكثير من المركبات الغير العضوية . وبسبب ضعف هذه الآصرة فإن التركيبات المتكونة بسببها تكون قليلة الثبات، سهلة الطيران ولها درجة انصهار واطئة . وتظهر الآصرة الايونية بوضوح في مركبات المعادن مع الالهاليدات، وأكاسيد المعادن، وطاقة الآصرة الايونية أكبر مما هو الحال لآصرة فان - در - والر، وتصل حتى 10° /جزيئية . لهذا فإن الجسم الصلب ذو الأوصار الايونية له حرارة تمييع عالية ودرجة غليان عالية أيضا .

وآصرة التساممية (أو التكافؤية) منتشرة بين المركبات العضوية، ولكنها توجد أيضا في المركبات اللاعضوية وفي بعض العناصر . وهذه الآصرة هي المسؤولة عن تكوين البلورات من نوع الماس . وطاقة هذه الآصرة كبيرة ($\sim 10^{\circ}$ /ذرء) لذلك تكون درجة الانصهار عالية .

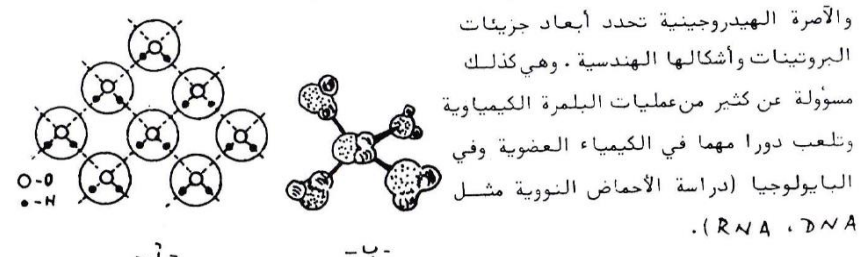
اما الآصرة المعدنية، التي تنشأ عن مشاعة الالكترونات التكافؤية الخارجية لكل ذرات البلورة، فتصف رابطة المعادن خصوصا . وطاقتها تقارن مع الآصرة التساممية .

$$* \text{ أو } 10^4 \text{ جول / مول .}$$

تدرجيا (هذه الاوصار هي المسؤولة عن التركيب الهش للماء والذي فيه تبتعد الجزيئات عن بعضها مسافة $2,76 \text{ \AA}$) . ان تحطيم هذا التركيب الهش يؤدي إلى نقصان الحجم وزيادة الكثافة . ومن جهة أخرى، فإن ارتفاع درجة الحرارة يزيد الحركة الحرارية للجزيئات ويفيد إلى التمدد الحراري ونقصان الكثافة . والتجربة بيّنت أنه في المدى ($0^{\circ} \text{ - } 4^{\circ}$) تكون ظاهرة تحطيم التركيب الهش هي المتفوقة بذلك تزداد الكثافة في هذا المدى، ولكن بعد 4° تصبح ظاهرة تحطيم التركيب الهش (ظاهرة تحطيم الأوصار الهيدروجينية) ثانية بالنسبة لظاهرة التمدد الحراري المتفوقة، وبالتالي تقل كثافة الماء عند التسخين فوق 4° .

ندرس البلورات ذات الآصرة الهيدروجينية من خلال المثال التموذجي الثلج .

الشكل (5 - 12 أ) يوضح تحطيم مستوى لوضع جزيئات الماء في بلورة الثلج: كل جزيئه محاطة بأربعة جوار أقرب فاصلتها $2,76 \text{ \AA} = 2\text{H}_2$ بفعل الآصرة الهيدروجينية . وفي الفضاء تحتل هذه الجزيئات رؤوس رباعي وجوه (Tetrahedral) منتظم كما في الشكل (5 - 12ب)، ورباعيات الوجه هذه ترتبط مع بعضها لتعطي التركيب البلوري الرخو للثلج (كثافته قليلة) . وعند الذوبان يتحطم جزء من الأوصار الهيدروجينية (15% ~m) لتزداد كثافة التعبئة وبالتالي لتزداد كثافة الماء: كثافة الثلج عند 0°C تساوي $916,8 \text{ كغم / متر}^3$ وكثافة الماء عند نفس درجة الحرارة تساوي $999,87 \text{ كغم / متر}^3$. ونذكر أنه لو لم تكن بين جزيئات الماء رابطة هيدروجينية لكانت درجة ذوبان الثلج 100°C - (بدلا من 0°C) .



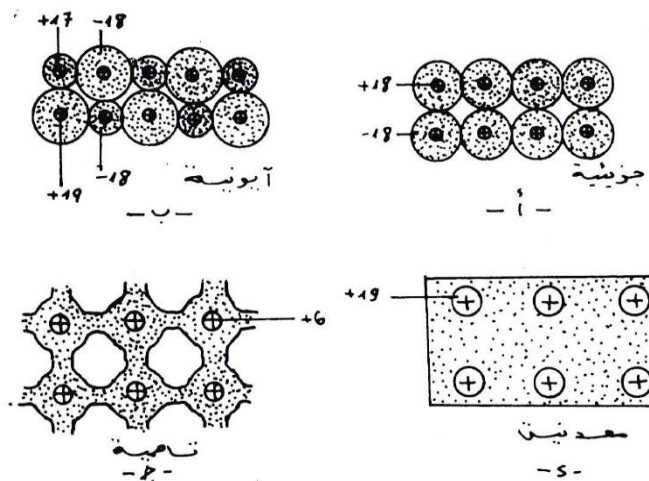
شكل (5 - 12)

وأخيراً نذكر أنه بالرغم من ضعف الأصرة الهيدروجينية نسبياً فإن لها تأثير استثنائي في الطبيعة، ونونك على أنه لا يمكن ملاحظة أي نوع من الأوصار أعلاه بمفرده فقط فيربط الجسم الصلب. عملياً، توجد دائماً امكانية لترابك نوعان أو أكثر من الأوصار، أحدهما لها التأثير السادس وتحدد خواص الجسم.

والجدول (5-8) والشكل (13) يبيّن مقارنة بين أنواع الأوصار المختلفة.

(جدول 5 - 8)

الاصرة	البلورة	البنية	طاقة التكوبين كيلو سعرة /مول	درجة الانصهار °K	فاصلة الجوار R الأقرب (Å)
الجزيئية	Ar	Fcc	1,8	83,9	3,75
	H_2-H_2	hcp		14	3,75
	Co-Co	—	2,0	يتbxr بدرجة واطئة	3,0
اليونية	Nacl	Nacl	180	800	2,82
	Lif	Nacl	240	850	2,01
	CsI	CsCl	145,3		3,95
التساهمية	C	ال MAS	170	4300	1,54
	Si	ال MAS	107	1683	2,35
	H-H	جزيئية	105	—	0,75
المعدنية	Na	BCC	26	371	3,66
	Fe	BCC	94	1808	2,48
	Ag	FCC	68,3	1234	2,89



(13 - 5) جملہ

2 - اعتبر طاقة التنافر لبلورة الفار الخامل fcc من النوع $e^{-R/2}$ حيث

λ ، c ثوابت ، r فاصلة الأيونات. اعتبر طاقة التنافر مع الجوار الأقرب.

(١) ما هي الطاقة الداخلية عند الموارن (R_0) لها .

(ب) أحسب معامل المرونة الحجمية B .

(ج) تطبيق عددي:خذ بلورة فار Sc :

$$R_0 = 4,33 \text{ \AA} , \frac{U_{tot}}{N} = 0,17 \text{ eV} , B = 3,6 \times 10^{10} \frac{\text{dyn}}{\text{cm}^2}$$

هذه القيم عملية، أحسب λ و c .

الحل:

(أ) طاقة التنافر بين الذرتين A و Z منفصلتان عن بعضهما بالبعد

r تساوي:

$$\lambda = \frac{c}{r}$$

و بما أن التفاعل يتم مع الجوار الأقرب، فإن طاقة التنافر الكلية لبلورة متكونة

من N ذرات تساوي:

$$(1) \quad U_{tot} = \frac{N}{2} Z \lambda e^{-R/2}$$

حيث Z - العدد التناصي (الجوار الأقرب) و R - فاصلة الجوار الأقرب، و وجود

$\frac{1}{2}$ يبيّن أن التفاعل بين كل زوج من الذرات.

طاقة التجاذب المئوية من قوة فان در والز بين ذرتين تساوي:

$$\frac{U}{U_{van}} = c / r^6$$

حيث c - ثابت. وطاقة الأيون Z الناتجة عن كل الأيونات Z ($A \neq Z$) تساوي:

تعريفات : الفصل الخامس

1 - بين بأن طاقة الرابط لذرة واحدة في بلورة الفار الخامل ذو التركيب fcc

أقل مما هي عليه للتركيب Sc أو bcc .

الجواب :

تستعمل معادلة طاقة الرابط:

$$U_{tot} = \frac{1}{2} N^4 \in \left[\left(\frac{\sigma}{R_0} \right)^6 \sum_{i=1}^{12} P_i \right] - \left(\frac{\sigma}{R_0} \right)^6$$

و استعمال القيمة النظرية $\sigma = 1,09 R$ و قيم P_i و R_0 للتركيبات البلورية المختلفة نجد:

$$\frac{U_{tot}}{N} = \begin{cases} -5,69 \text{ e} & (Sc) \\ -8,23 \text{ e} & (bcc) \\ -8,6 \text{ e} & (fcc) \end{cases}$$

حيث :

	Sc	bcc	fcc
A_6 :	8,40	12,25	14,45
A_{12} :	6,20	9,11	12,13

ومنه نجد B باستعمال الشرط (4):

$$(6) \quad B = \frac{2C A_6}{3\sqrt{2} R_0^9} \left(\frac{R_0}{\rho} - 7 \right)$$

من (5) و (6) نجد:

$$\frac{B}{U_{tot}(R_0)} = -\frac{2\sqrt{2}}{3} \frac{1}{R_0^3} \frac{\frac{R_0}{\rho} - 7}{1 - \frac{6\rho}{R_0}}$$

حيث $U_{tot}(R_0) = \frac{N}{8}$

جـ وباستعمال القيم العملية نجد:

$$\frac{\frac{R_0}{\rho} - 7}{1 - \frac{6\rho}{R_0}} = 11,39 = K$$

$x^2 - (7 + K)x + 6K = 0$ اذن: $\frac{R_0}{\rho} = x$ يجعل

$$x = \frac{(7 + 11,39) \pm \sqrt{(7 + 11,39)^2 - 24 \cdot 11,39}}{2}$$

اذن:

$$\frac{R_0}{\rho} > 7 \rightarrow \rho \approx 0.38 \Omega$$

نعرض في (5) لاستخراج C ثم نستعمل (4) لاستخراج λ .

$$\sum_{i=1}^N U_i^{(2)} = -\frac{C}{R^6} \sum_{i=1}^N \left(\frac{1}{R_i^6} \right)^6$$

حيث جعلنا $R_i = \sqrt[6]{P_i}$ وطاقة التحاثب الكلية تساوي:

$$(2) \quad \sum_{i=1}^N U_i^{(2)} = -\frac{NC}{2R^6} A_6$$

$$\text{حيث } \sum_{i=1}^N P_i^6 = 14,45 \text{ للتركمب } fcc.$$

والطاقة الكلية الداخلية للبلورة تساوي:

$$(3) \quad U_{tot} = U_{tot}^{(1)} + U_{tot}^{(2)} = \frac{N}{2} (Z\lambda e^{-R/\rho} - \frac{C}{R^6} A_6)$$

وعند التوازن $\frac{dU_{tot}}{dR} = 0$ نجد:

$$Z\lambda e^{-R/\rho} = \frac{6CP}{R^7} A_6$$

والطاقة الداخلية عند التوازن:

$$(4) \quad U_{tot}(R_0) = -\frac{N}{2} \frac{CA_6}{R_0^6} \left(1 - \frac{6\rho}{R_0} \right)$$

(ب) من تعريف B :

$$B = V \frac{d^2 U_{tot}}{dV^2} = \left[V \left(\frac{dR}{dV} \right)^2 \frac{d^2 U_{tot}}{dR^2} \right]_{V_0}$$

حيث V ـ الحجم عند التوازن، نعتبر عن V ـ بدلالة الجوار الأقرب:

$$V = \frac{a^3}{4} N = \frac{R^3 N}{\sqrt{2}}, \quad (R = \frac{a}{\sqrt{2}}) \quad \text{و} \quad \frac{dR}{dV} = \frac{1}{3R^2 N / \sqrt{2}}$$

وباستعمال المعادلة (3) نجد:

$$\frac{d^2 U_{tot}}{dR^2} = \frac{N}{2} \left(Z\lambda e^{-R/\rho} - \frac{42 CA_6}{R^8} \right)$$

$$(2) E_R = - \frac{\partial V(\vec{R})}{\partial R} = \frac{2}{4\pi\epsilon_0} \frac{\rho \cos\theta}{R^3} \quad \vec{E}_\theta = - \frac{1}{R} \frac{\partial V(\vec{R})}{\partial \theta} = \frac{1}{4\pi\epsilon_0} \frac{\rho \sin\theta}{R^3}$$

والطاقة الكامنة لثنائي القطب \vec{P} نتيجة وجوده في مجال \vec{E} تساوي:

$$U(\vec{R}) = - \vec{E}_r \cdot \vec{P}' \cdot \vec{u}_r - E_\theta \vec{P}' \cdot \vec{u}_\theta$$

$$(3) U(\vec{R}) = - \frac{2}{4\pi\epsilon_0} \frac{pp' \cos\theta \cos\theta'}{R^3} + \frac{1}{4\pi\epsilon_0} \frac{pp' \sin\theta \sin\theta'}{R^3}$$

$$\vec{U}(\vec{R}) = -3 \frac{pp' \cos\theta \cos\theta' R^2}{4\pi\epsilon_0 R^5} + \frac{pp'}{4\pi\epsilon_0 R^3} (\cos\theta \cos\theta' + \sin\theta \sin\theta')$$

$$(4) U(\vec{R}) = \frac{1}{4\pi\epsilon_0} \left(\frac{\vec{P} \cdot \vec{P}'}{R^3} - \frac{3(\vec{P} \cdot \vec{R})(\vec{P}' \cdot \vec{R})}{R^5} \right)$$

وهذه هي طاقة التفاعل المتبادلة بين ثنائي القطب موضوعة بالهيئه المألوفة.

ونعرف حالة التوازن هنا بأنها هي حالة انعدام العروض (العمودية على مستوى ثنائي القطب) المؤشرة على \vec{P} و \vec{P}' وهما m و m' على التوالي:

$$(5) m = - \frac{\partial U(R)}{\partial \theta} = - \frac{1}{4\pi\epsilon_0} \frac{pp'}{R^3} (2 \sin\theta \cos\theta' + \cos\theta \sin\theta')$$

$$m' = - \frac{\partial U(R)}{\partial \theta'} = - \frac{1}{4\pi\epsilon_0} \frac{pp'}{R^3} (2 \cos\theta \sin\theta' + \sin\theta \cos\theta')$$

حيث استخدمنا المعادلة (3). وحالة التوازن تتطلب كون $m = m' = 0$ ، وهذا

يكافىء:

$$\begin{cases} m + m' = 0 \\ m - m' = 0 \end{cases} \quad \begin{cases} \sin(\theta + \theta') = 0 \\ \sin(\theta - \theta') = 0 \end{cases}$$

وكذلك كون \vec{R} (المعادلة 3). وهذه الشروط تتحقق عندما:

$$(\theta, \theta') = (0, 0), (\pi, \pi), (\frac{\pi}{2}, -\frac{\pi}{2}), (\frac{\pi}{2}, \frac{\pi}{2})$$

وفي جميع حالات التوازن هذه تكون الطاقة (\vec{R}) سالبة والقوة بين ثنائي القطب

3 - (1) أحسب طاقة تفاعل ثنائي قطب كهربائيان \vec{P} و \vec{P}' ببعدين عن بعضهما بالبعد R وذلك عند التوازن. أجعل ثنائي القطب \vec{P} محثثاً عن \vec{P}' واحسب طاقة التفاعل في هذه الحالة المتوازنة أيضاً.

تطبيق عددي:خذ $\kappa = 2.7 \times 10^{-4}$ فاراد. متر²، وثنائي القطب ناتج عن الكترون وأيون المسافة بينهما 1 \AA .

(ب) طبق النتيجة أعلاه على بلورة غاز مثالي (fcc) عدد ذراته N متوزعة أن التفاعل يتم فقط مع الجوار القريب. وطاقة التنافر من النوع B/R^{12} .

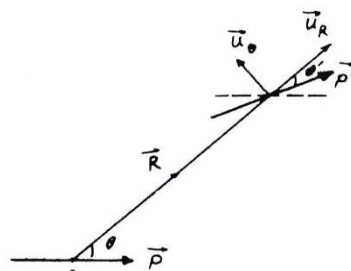
تطبيق عددي: أحسب طاقة الرابط لكل ذرة مع العلم أن فاصلة التوازن $R=4\text{ \AA}$. (ج) أحسب معامل المرونة الجمجمية B عند التوازن.

(د) في الحسابات أعلاه أهملنا الطاقة الحرارية لأنها تجري عند المفترض المطلق، ولكن حتى عند الصفر المطلق فإن الذرات في حالة تذبذب: والطاقة التذبذبية الصفرية لذرة واحدة تساوي $\frac{9}{8} k_B T_0$ حيث T_0 - ثابت بولتزمان، θ_0 - درجة حرارة دينامي. ما هو الخطأ الناتج عن اهمال الطاقة الحرارية عندما $\theta_0 = 70^\circ K$.

الحل:

(1) نبدأ بالحسابات من الجهد الناتج عن ثنائي القطب \vec{P} في النقطة التي يشعلاها ثنائي القطب \vec{P}' وهي:

$$(1) V(\vec{R}) = \frac{1}{4\pi\epsilon_0} \frac{\vec{P} \cdot \vec{R}}{R^3}$$



وحيث أن $\nabla V(\vec{R}) = -\vec{E}$: شدة المجال الكهربائي له مركبات بالاتجاهات \vec{u}_r ، \vec{u}_θ ، \vec{u}_ϕ :

شكل تمرير 3

هي قوى تجاذب.

عندما يكون \vec{P}' مماثلاً فانه يساوي: $\vec{P}' = \alpha \vec{E}$ حيث \vec{E} هي شدة المجال الناشئة عن \vec{P} في موقع \vec{P}' وهذا يحدث عندما $\vec{P} \parallel \vec{P}'$ ويكونان مطبقان على الشعاع \vec{R} الواصل بينهما ($\theta' = \theta = 0$) عند ذلك $E = E_R$ اذن:

$$\vec{P}' = \frac{2}{4\pi\epsilon_0} \frac{\vec{P}}{R^3} \alpha$$

وطاقة التفاعل في هذه الحالة المتوازنة تحسب من المعادلة (4) او (3):

$$U(R) = -\frac{2\rho\rho'}{4\pi\epsilon_0 R^3} = -\frac{4\alpha\rho^2}{(4\pi\epsilon_0)^2 R^6} = -\frac{\rho}{R^6}$$

تطبيقات عددي:

$$\rho = e \cdot l = 1,6 \times 10^{-19} \times 10^{-10} = 1,6 \times 10^{-29}$$

$$\text{نيوتون} \cdot \text{متر} = 9 \times 10^9 \text{ نيوتن} \cdot \text{متر}^2 / \text{كولوم}^2$$

$$\alpha = 2,7 \times 10^{14} \text{ فاراد} \cdot \text{متر}^2 / 4\pi\epsilon_0$$

اذن:

$$D = 2,24 \times 10^{-7} \text{ جول} \cdot \text{متر}^6 = 2,24 \times 10^{17} \text{ جول} \cdot \text{آم}^6$$

(ب) طاقة التفاعل بين كل زوج من الذرات (ثنائيات القطب) تساوي:

$$U_{\text{pair}}(R) = -\frac{\rho}{R^6} + \frac{B}{R^{12}}$$

وطاقة البليورة او طاقة \sim من الذرات او $\frac{N}{2}$ من الأزواج عندما يتم التفاعل مع أقرب الجيران (عدد الجوار الأقرب في حالة fcc يساوي $12 = N$) هي:

$$U_{\text{tot}}(R) = \frac{N}{2} \cdot 12 U_{\text{pair}}(R) = 6N \left(-\frac{\rho}{R^6} + \frac{B}{R^{12}} \right)$$

وعند التوازن $0 = \frac{\partial U_{\text{tot}}}{\partial R}$ نجد:

$$B = \frac{\rho}{2} R_0^6 = 4,6 \times 10^{-14} \quad (\text{جول} \cdot \text{آم}^{12})$$

وطاقة التكوين عند التوازن تساوي:

$$U_{\text{tot}}(R_0) = 6N \left(-\frac{\rho}{R_0^6} + \frac{B}{R_0^{12}} \right) = -1,64 \times 10^{-20} \text{ جول} \approx -0,1 \text{ نيوتون} \cdot \text{متر} = 0,1 \text{ إلكترون فولت}.$$

أي أن طاقة التكوين لكل ذرة تساوي 0,1 إلكترون فولت.

(ج) عند التوازن :

$$B = V \frac{d^2 U}{dV^2} \quad \text{و} \quad V = (R^3 / \sqrt{2}) N \quad V = \frac{\alpha^3}{4} N \quad R = \frac{\alpha}{\sqrt{2}}$$

$$B = \frac{R_0 \alpha'}{\sqrt{2}} \left(\frac{d^2 U}{dV^2} \right)_{R=R_0} = 4,8 \times 10^8 \text{ نيوتون} / \text{متر}^2$$

$$U_V = \frac{9}{8} K_B \theta_D = 6,7 \times 10^{-3} \text{ نيوتون} \cdot \text{متر}^2$$

وطاقة التكوين الصحيحة لكل ذرة تساوي :

$$-0,1 + 6,7 \times 10^{-3} = -0,93$$

والخطأ النسبي في الحسابات :

$$\frac{6,7 \times 10^{-3}}{0,1} \times 100 \% = 6,7 \%$$

وهو صغير وقابل للإهمال.

4 - سلسلة ذرات خطية مكونة من $2N$ ايوناً متعاكسة الشحنة q^+ . اذا علمت أن طاقة التنافر بين الايونات المتجاورة متساوية الى A/R^n فاحسب:

(أ) طاقة وضع التوازن (عندما $R = R_0$) .

(ب) العمل المنجز لكبس سلسلة الذرات بحيث أن $(1-\delta)R_0 \rightarrow R$.

الحل: أ - طاقة التبادل الكولومية بين الايونين i و j تساوي:

$$U_{ij} = \frac{q^2}{r_{ij}}$$

حيث $q_i = RP_i$ - هي المسافة بين الايونين i و j . والطاقة الكولومية للايون i والناتجة عن كل الايونات الاخرى تساوي:

$$U_i = \sum_{j \neq i} \frac{q^2}{r_{ij}} = \frac{q^2}{R} \sum_{j \neq i} \frac{1}{P_j}$$

والإشارة السالبة تبين أن أقرب الجيران مختلف بالاشارة . والكمية .

$$\sum_{j \neq i} \frac{1}{P_j} = 2 \ln 2$$

وطاقة التنافر بين أقرب الجيران تساوي

$$U_{tot}^{(c1)} = Z \frac{A}{R^n} = 2AN/R^n$$

حيث $Z = 2$ - عدد أقرب الجيران . والطاقة الكلية للسلسلة تساوي :

$$(1) U_{tot}^{(c2)} = - \frac{q^2}{R} 2 \ln 2 + \frac{2AN}{R^n}$$

وتحالفة الاتزان تحدث عندما $\frac{dU_{tot}}{dR} = 0$ ، ومنه نجد :

$$(2) R_0 = \frac{n q^2 \ln 2}{n A R_0}$$

وعند التعويض عن هذا الشرط نجد طاقة الاتزان:

$$(3) U_{tot}(R_0) = \frac{2N q^2 \ln 2}{R_0} (1 - \frac{1}{n})$$

وهذا هو المطلوب (1)

(ب) عند حساب العمل (حيث R متغيرة) نستعمل العلاقة (1) : العمل المنجز يساوي الفرق بين الطاقتين الكليتين:

$$(4) \Delta W = [U_{tot}(R)]_{R=R_0} - [U_{tot}(R)]_{R=R_0(1-\delta)}$$

حيث:

$$[U_{tot}(R)]_{R=R_0(1-\delta)} = - \frac{N q^2 2 \ln 2}{R_0} (1 - \delta)^{-1} + \frac{2A}{R_0^n} (1 - \delta)^{-n}$$

وباستعمال قانون المفکوك

$$(a+b)^n = \sum_{j=0}^n \frac{n!}{j!(n-j)!} a^j b^{n-j}$$

والتقرير للمرتبة الثانية وكذلك العلاقة (2) نجد:

$$[U_{tot}(R)]_{R=R_0(1-\delta)} = - \frac{N q^2 \ln 2}{R_0} (1 - \frac{1}{n} + \frac{-n+1}{2} \delta^2)$$

وبتعويض هذه المعادلة والمعادلة (3) في (4) نجد:

$$\Delta W = - \frac{N q^2 \ln 2}{R_0} (1 - \delta)^2$$

الإشارة السالبة تبين أن العمل منجز من قبل القوى الخارجية . والعمل لوحدة الطول

$$\text{هو: } \frac{|\Delta W|}{2NR_0} = \frac{1}{2} C^2 \quad \text{و} \quad C = \frac{(n-1) q^2 \ln 2}{R_0^2}$$

حيث R - فاصلة الجوار القرب (والشحن عند الرؤوس تشتهر بأربعة مربعات بينما التي وسط الأضلاع تشتهر بربعين). وشحنة المربع معروفة لأنها تحمل شحنة $(1-)$ وسطه.

وعن طريق المجموع الجبري لجهود شحن المربع الأول في النقطة "0" نحسب مساهمة شحن المربع الأول في ثابت مدلونك (κ_1):

$$\kappa_1 = \frac{4(-\frac{1}{4})}{\sqrt{2}} + \frac{4(\frac{1}{2})}{1} = -\frac{1}{\sqrt{2}} + 2 = 1,293$$

وأننا نأخذ مربع أكبر مركزه "0" (ويقع المربع الأول داخله) وـ"جزيء" الشحن الموجودة على "سطحه" كما عملنا سابقاً.

الشحن عند رؤوسه $(\frac{1}{4})$ والشحن على أضلاعه $(\pm 1/2)$. ومجموع شحنة هذا المربع الثاني معروفة أيضاً (وتتساوي شحنة المربع الداخلي بدون تجزئة + الشحنة على "سطحه" + الشحنة وسطه).

وعن طريق المجموع الجيري لجهود الشحن المتبقية للمربع الأول وجهود الشحن على سطح المربع الثاني في النقطة "0" نجد مساهمة شحن المربع الثاني في ثابت مدلونك (κ_2):

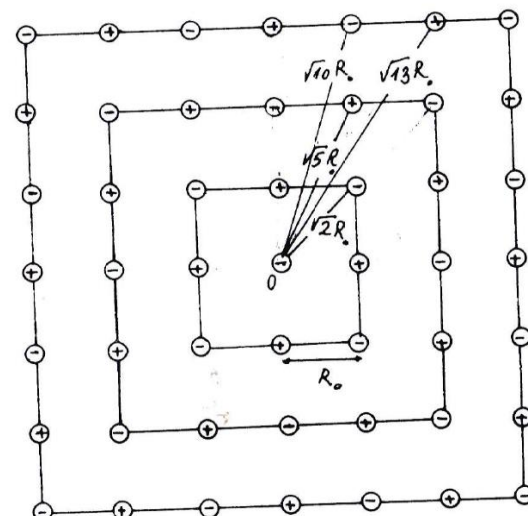
$$\kappa_2 = \left(\frac{-4(1-\frac{1}{4})}{\sqrt{2}} + \frac{4(1-\frac{1}{2})}{1} \right) + \left(\frac{8(\frac{1}{2})}{\sqrt{5}} + \frac{4(-\frac{1}{2})}{2} + \frac{4(-\frac{1}{4})}{2\sqrt{2}} \right) = 0,314$$

ما تبقى من شحن المربع الأول
شحن سطح المربع الثاني

ونفس الأسلوب أعلاه نأخذ المربع الأكبر الثالث (الذي يشتمل داخله على المربع الثاني) ومساهمة المربع الثالث في ثابت مدلونك (κ_3) تساوي:

5 - أحسب ثابت مدلونك لشبكة مستوية لا نهاية كالمستوى (100) للبلازما ملحة الطعام وذلك لدقة 10^{-2} .

الحل:



شكل تمرين 5

نأخذ المربع الأول "ونجزيء" شحنته (حسب اشتراك الشحن مع المربعات المجاورة) بحيث تكون شحنة المربع معروفة.

الشحن عند الرؤوس: $(1/4) -$ عددها 4 وبعدتها عن "0" = $\sqrt{2} R_0$

الشحن وسط الأضلاع: $(\frac{1}{2}) +$ عددها 4 وبعدتها عن "0" = R_0

- 6 - خذ شبكة مستوية لانهائية كالمستوي (100) لبلورة ملح الطعام .
- (أ) اذا كانت طاقة التنافر بين الذرات في الصورة $A \bar{R}^n$ ($n = 9$) حيث R - المسافة بين الذرات . فما هي العلاقة الرابطة بين فاصلة الجوار الاقرب عند التوازن (R_0) وبقية الكميات والثوابت :
- (ب) باستخدام نفس هيئة العلاقة (في الفرع أ) لبلورة ملح الطعام أحسب النسبة بين فاصلة الجوار الاقرب للشبكة المستوية $R^{(P)}$ وللشبكة البلورية لملح الطعام $R^{(NaCl)}$ علماً أن $\alpha_{NaCl} = 1,74$ - ثابت مدلونك لملح الطعام .
- (ج) استنتج النسبة بين طاقتني التكتوين لكل جزيئة (أي لكل زوج من الايونات المختلفة) للشبكة البلورية المستوية $R_0^{(P)}$ ولبلورة ملح الطعام $R_0^{(NaCl)}$ عند التوازن .

الحل: الشبكة المستوية موضحة في السؤال السابق . الطاقة الكهروستاتيكية تساوي :

$$U_{es} = -N |\alpha| e^2 / 4\pi\epsilon_0 R$$

حيث R - فاصلة الجوار الاقرب : $R = R_0$ عند التوازن و $2N$ - عدد الايونات في "البلورة" المستوية . والطاقة التنافر ظهر بين الجوار الاقرب فقط .

$$U_{rep} = N Z A \bar{R}^n$$

حيث Z - العدد التناسقي ويساوي 4 للبلورة المستوية . والطاقة الكلية الرابطة تساوي :

$$(1) \quad U_{tot} = U_{es} + U_{rep} = -N \frac{|\alpha| e^2}{4\pi\epsilon_0 R} + NZA \bar{R}^n$$

وعند التوازن $\frac{dU_{tot}}{dR} \Big|_{R=R_0} = 0$ نجد :

$$\alpha_3 = \left(\underbrace{\frac{8(1-\frac{1}{2})}{\sqrt{5}} + \frac{-4(1-\frac{1}{2})}{2} + \frac{-4(1-\frac{1}{4})}{2\sqrt{2}}}_{\text{ما تبقى من شحن المربع الثاني}} + \left(\frac{8(\frac{1}{2})}{\sqrt{13}} + \frac{8(-\frac{1}{2})}{\sqrt{10}} + \right. \right. \\ \left. \left. + \frac{4(\frac{1}{2})}{3} + \frac{4(-\frac{1}{2})}{3\sqrt{2}} \right) \right) = 3,6 \times 10^{-3}$$

وثابت مدلونك يساوي :

$$\alpha = \alpha_3 + \alpha_2 + \alpha_1 = 1,61$$

ونستطيع أن نستمر بالحساب لمربعات أكبر ولكن مساحتها في ثابت مدلونك ستكون صغيرة جداً ، وهذه هي ميزة أسلوب أيفن بالحساب .

7 - أحسب ثابت مدلونك κ للبلورة $NaCl$ بطريقة أيفن.

الحل:

أ. أخذنا شحنة سالبة من التركيب كمبدأ للمحاور فان متوجه موقع آية شحنة

آخر هو:

$$(1) \quad \vec{r}_j = n_1 R_0 \vec{i} + n_2 R_0 \vec{j} + n_3 R_0 \vec{k}$$

حيث n_1, n_2, n_3 أعداد صحيحة، R_0 - فاملة الجوار الأقرب. فاذا كان $|n_1 + n_2 + n_3|$ = عدد فردية فالشحنة المشاركة موجبة.

نتصور التركيب البلوري على أنه مكعبات متعركزة عند مبدأ المحاور "0". ولو أخذنا أي من هذه المكعبات فان: (nR_0, nR_0, nR_0) هي أحاديث زواياه الركينية، واذا كانت احدى الأحاديث فقط تساوي nR_0 فهي تشير إلى شحنه على احدى وجوه المكعب، أما إذا كان أحاديث متساوية ويساوي nR_0 فإن الأحاديث تشير إلى شحنة على أحد حروف المكعب.

طريقة أيفن: نختار تجمعات شحنة متعادلة. ونبدأ بالمكعب الاصطلاحي للبلورة $NaCl$ كما في الشكل و "جزيء" شحنه حسب اشتراكها مع المكعبات الاصطلاحية المجاورة:

(أ) مقدار الشحنة $\frac{1}{8}$ اذا وقعت عند الزوايا الجسمية.

(ب) مقدار الشحنة $\frac{1}{2}$ اذا وقعت في وسط الوجه.

(ج) مقدار الشحنة $\frac{1}{4}$ اذا وقعت على الحروف.

بالنسبة للمكعب (الاول) الاصطلاحي تتراوح أحاديث الشحن من الجوار الأقرب

$$\{(100), (010), (001), (\bar{1}00), (0\bar{1}0), (00\bar{1})\} \equiv \{100\}$$

$$\text{حتى الجوار البعيد } \{(111), (\bar{1}\bar{1}1), (1\bar{1}\bar{1}), (\bar{1}\bar{1}\bar{1})\} \equiv \{(111), (\bar{1}\bar{1}1), (1\bar{1}\bar{1}), (\bar{1}\bar{1}\bar{1})\}$$

(2)

$$R_0^{n-1} = 4\pi\epsilon_0 z^n A / 1 \propto 1 g^2$$

(ب) - للبلورة المستوية: $z = 4, \alpha = 1,61$

$$[R_0^{(P)}]^{n-1} = 4\pi\epsilon_0 \times 4 \propto A / 1,61 g^2$$

للبلورة ملح الطعام:

$$z = 6, \alpha = 1,74$$

$$[R_0^{(NaCl)}]^{n-1} = 4\pi\epsilon_0 \times 6 \propto A / 1,74 g^2$$

والنسبة بينهما حيث $n = 9$ تساوي:

$$(3) \quad \frac{R_0^{(P)}}{R_0^{(NaCl)}} = \left[\frac{\frac{4}{6}}{\frac{1,74}{1,61}} \right]^{\frac{1}{8}} = 0,96$$

(ج) نعوض (2) في (1) لنجد:

$$U_{tot}(R_0) = -N \frac{1,61 g^2}{4\pi\epsilon_0 R_0} (1 - \frac{1}{n})$$

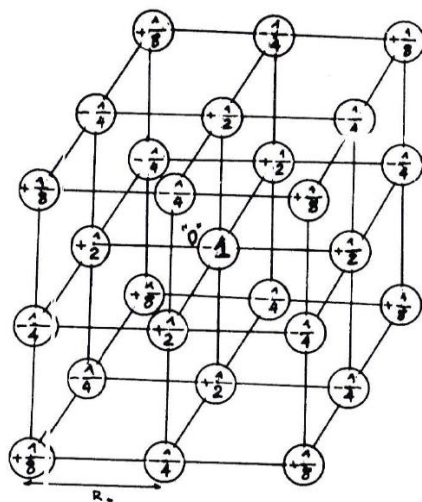
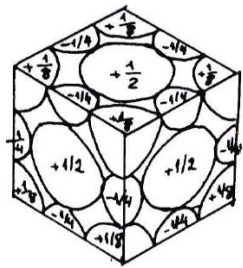
للبلورة المستوية:

$$U_{tot}(R_0) = - \frac{1,61 g^2}{4\pi\epsilon_0 R_0^{(P)}} (1 - \frac{1}{n})$$

للبلورة ملح الطعام:

$$U_{tot}^{(NaCl)}(R_0) = - \frac{1,74 g^2}{4\pi\epsilon_0 R_0^{(NaCl)}} (1 - \frac{1}{n})$$

وبالقسمة نجد $U_{tot}^{(NaCl)}(R_0) = 0,957 U_{tot}(R_0)$. أي أن طاقة التكوين لكل جزيء في المستوى (100) أقل من طاقة التكوين للبلورة $NaCl$ بمقدار 4%.



شكل تمرين 7

$\{200\}$	$\{240\}$	$\{242\}$	$\{244\}$	$\{248\}$	$\{220\}$	$\{221\}$	$\{222\}$	$\{210\}$	$\{211\}$	$\{212\}$
6	24	24	12	224	8	الحروف	الوجوه	الوجوه	الوجوه	الوجوه
-	+	-	-	+	-	الزوايا	الزوايا	الزوايا	الزوايا	الزوايا
$\frac{1}{2}$	$\frac{1}{2}$	$\frac{1}{2}$	$\frac{1}{4}$	$\frac{1}{4}$	$\frac{1}{8}$	القيمة	القيمة	القيمة	القيمة	القيمة
$\sqrt{4}R_0$	$\sqrt{5}R_0$	$\sqrt{6}R_0$	$\sqrt{8}R_0$	$\sqrt{9}R_0$	$\sqrt{12}R_0$	البعد عن " "	البعد عن " "	البعد عن " "	البعد عن " "	البعد عن " "
$6(-\frac{1}{2}) + 24(\frac{1}{2}) + 24(-\frac{1}{2}) + 12(-\frac{1}{4}) + 24(\frac{1}{4}) + 8(-\frac{1}{8}) = -1$						الشحنة الكلية :				

وهذه تجمع مع الشحنة المتبقية للمكعب الاول الداخلي:

$\{100\}$	$* \{110\}$	$\{111\}$	أحداثيات الشحن:
6	12	8	عدد الشحن :
الوجوه	الحروف	الزوايا	الموقع: عند
+	-	+	الإشارة :
$\frac{1}{2}$	$\frac{1}{4}$	$\frac{1}{8}$	القيمة :
R_0	$\sqrt{2}R_0$	$\sqrt{3}R_0$	البعد عن " 0 " :
			الشحنة الكلية :
			$+ 8 \cdot \frac{1}{8} - \frac{1}{4} \times 12 + 6 \times \frac{1}{2} = 0$ العزمية

حيث تستنتج الاشارة والموقع من الملاحظة السابقة، والبعد يساوي $\sqrt{n_1^2 + n_2^2 + n_3^2} R_0$. وعن طريق المجموع الجيري لجهود كل هذه الشحن في " 0 " نستنتج دورها في الثابت α ويساوي $\alpha =$:

$$(2) \quad \alpha = \frac{(1/8)}{\sqrt{3}} 8 + \frac{(1/2)}{1} 6 + \frac{(-1/4)}{\sqrt{2}} 12 = 1,46$$

والآن نأخذ مكعباً ثانياً (يحتضن المكعب الاول) يمتد في جميع الاحداثيات من $-2R_0$ إلى $2R_0$ ونجري نفس العمل السابق. احداثيات شحن سطح المكعب الثاني الكبير تتراوح بين $\{200\}$ وسط الوجوه و $\{222\}$ عند الرؤوس الجسمية:

$$\{110\} \equiv (110), (\bar{1}\bar{1}0), (1\bar{1}0), (\bar{1}\bar{1}0); (101), (\bar{1}01), (011), (0\bar{1}1), (01\bar{1}), (0\bar{1}\bar{1}), (0\bar{0}1)$$

8 - طاقة تكوين بلورة كلوريد الموديوم توصف بالعلاقة

$$U = -\frac{\alpha \lambda^2 N}{4\pi \epsilon_0 R} + 6N\lambda \bar{R}^P$$

كيف يتغير ثابت الشبكة α وطاقة التكوين عند التوازن (R_i) لا عندما:

(أ) تزداد شحنة كل أيون لتصبح $69 e^-$

(ب) "يملاً" فضاء الشبكة البلورية بسائل متجانس ثابت عزله الكهربائي ϵ .

تطبيق عددي: $\rho \approx 10$, $n = 2$, $\lambda = 80 \text{ eV}$, $R_i = 5,63 \text{ \AA}$, $U(R_i) = -7,9 \text{ eV}$.

الحل: ان هذه التغيرات، تغير الطاقة الكهروستاتيكية ولا تغير التركيب البلوري

أ - فعندما تصبح الشحنة 88 فان الطاقة الكهروستاتيكية تصبح:

$$(1) U_{es1} = -\frac{\alpha_1 \lambda^2 N}{4\pi \epsilon_0 R_1}$$

حيث $\alpha_1 = n^2 \alpha$, والفاصلة R_1 تصبح R .

ب - وعندما يملأ فضاء الشبكة بسائل متجانس فان الطاقة الكهروستاتيكية

$$(2) U_{es2} = -\frac{\alpha_2 \lambda^2 N}{4\pi \epsilon_0 R_2} = -\frac{\alpha_2 \lambda^2 N}{4\pi \epsilon_0 R}$$

حيث $\alpha_2 = \frac{\alpha}{\epsilon}$, والفاصلة R تصبح R_2 .

وطاقة التكوين مع أيٍ من التغيرين أعلاه هي:

$$(3) U_i = -\frac{\alpha_i \lambda^2 N}{4\pi \epsilon_0 R_i} + 6N\lambda \bar{R}^P$$

حيث $i = 1, 2$: U_i - طاقتا التكوين في الحالتين 1, 2 على التوالي.

$$(1 - \frac{1}{8}) 8 + (1 - \frac{1}{2}) 6 - (1 - \frac{1}{4}) 12 = +1$$

وبهذا فالمجموع الكلي معادلاً.

وعن طريق المجموع الجبري لجهودها في "0" نستنتج دورها في الثابت α

ويساوي α :

$$\alpha_2 = \left(\frac{(1 - \frac{1}{8})}{\sqrt{3}} 8 + \frac{(1 - \frac{1}{2})}{1} 6 - \frac{(1 - \frac{1}{4})}{\sqrt{2}} 12 \right) + \left(\frac{(-\frac{1}{8})}{\sqrt{4}} 6 + \right. \\ \left. \text{ما تبقى من شحن المكعب الأول} \right)$$

$$+ \frac{(1/2)}{\sqrt{5}} 24 + \frac{(-1/2)}{\sqrt{6}} 24 + \frac{(-1/4)}{\sqrt{8}} 12 + \frac{(1/4)}{\sqrt{9}} 24 + \frac{(-1/8)}{\sqrt{12}} 8 = 0,291769$$

ولو أخذنا مكعب أكبر يمتد من R_i إلى $3R_i$ في كل المحاور الكارتيزية لوجدنا أن $\alpha_3 = -0,0047$. لذلك فالقيمة (التقريبية) للثابت α تساوي:

$$\alpha = \alpha_1 + \alpha_2 + \alpha_3 = 1,46 + 0,291769 - 0,0047 \\ = 1,747069$$

وهي قريبة جداً من القيمة الدقيقة 1,747564.

٩ - سطعى القيم العملية التالية لبلورة كلوريد السيريوم $CsCl$ الأيونية:

$$\alpha = 1,7627, \quad a = 4,12 \text{ \AA}, \quad R_0 = 3,57 \text{ \AA}, \quad B = 0,29 \times 10^{11} \frac{n\ell}{\mu^2}$$

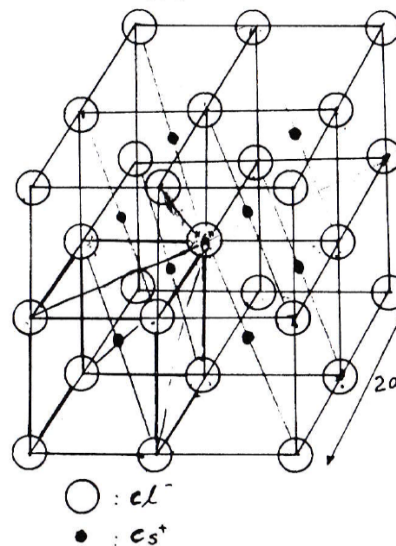
والمطلوب:

(أ) حساب مقدار مساعدة مكعب اصطلاحي طول ضلعه 2α من التركيب البلوري في ثابت مدلوك. قارن النتيجة مع قيمة α ، واستنتج.

(ب) اذا كانت طاقة نافر باولي في المورة $R = \frac{P\lambda}{2\pi\epsilon g^2}$ حيث λ ثوابت،

- فاصلة الجوار الأقرب (عند التوازن $R = R_0$) فجد معادلة لحساب طاقة الربط عند التوازن.

(ج) أحسب α ، λ ، طاقة ربط جزيئية واحدة عند التوازن.



شكل تمرين ٩

الحل:

(أ) المكعب المقصد

موضح في الشكل المجاور. نأخذ

أيون كلور Cl^- ونعتبره مركزاً

للمجاور "0". فاصلة الجوار

الأقرب $\frac{\sqrt{3}}{2} \alpha = R$. نجزي،

الشحنة الموجودة على سطح هذا

المكعب حسب اشتراكها مع

المكعبات المشابهة بحيث تصبح

كل شحنة المكعب معدومة:

الشحنة عند الزوايا = $1/8$

الشحنة وسط الوجه = $1/2$

الشحنة وسط الأضلاع = $1/4$

والآن نطبق على المعادلة العامة (3) شرط الاتزان $U_i(R_{0i}) = 0$ لنجد:

$$(4) \quad R_{0i}^{P-1} = \frac{24\pi\epsilon_0 P \lambda}{2\pi\epsilon g^2} \quad U_i(R_{0i}) = -\frac{N\alpha_i g^2}{4\pi\epsilon_0 R_{0i}} (1 - \frac{1}{P})$$

اما بلورة ملح الطعام الاعتيادية فان

$$(5) \quad R_0^{P-1} = \frac{24\pi\epsilon_0 P \lambda}{2\pi\epsilon g^2} (R_0) = -\frac{N\alpha g^2}{4\pi\epsilon_0 R_0} (1 - \frac{1}{P})$$

والنسبة بينها تساوي:

$$\frac{R_{0i}}{R_0} = \left(\frac{\alpha}{\alpha_i} \right)^{\frac{1}{P-1}} = \frac{\alpha_i}{\alpha_0} \cdot \frac{U_i(R_{0i})}{U_0(R_0)} = \left(\frac{\alpha_i}{\alpha} \right)^{\frac{1}{P-1}}$$

تطبيق عددي:

$$(أ) \quad \alpha_1 = 4\alpha, \quad \text{اذن:}$$

$$\frac{\alpha_1}{\alpha_0} = \left(\frac{1}{4} \right)^{1/9} = 0,857 \quad \text{و} \quad \alpha_1 = 4,83 \text{ \AA}$$

$$\frac{U_2(R_{02})}{U_0(R_0)} = (4)^{10/9} = 4,67 \quad \text{للو} \quad U_2(R_{02}) = -37 \text{ eV}$$

$$(ب) \quad \alpha_2 = \frac{\alpha}{80}, \quad \text{اذن:}$$

$$\frac{\alpha_2}{\alpha_0} = (80)^{1/9} = 1,63 \quad \text{و} \quad \alpha_2 = 9,16 \text{ \AA}$$

$$\frac{U_2(R_{02})}{U_0(R_0)} = \left(\frac{1}{80} \right)^{10/9} = 7,68 \times 10^{-3} \quad \text{للو} \quad U_2(R_{02}) = -6 \times 10^{-2} \text{ eV}$$

وبالنسبة للنقطة "O" توجد:

- 8 أيونات S^+ بعدها R وشحنة كل واحد :
- $\frac{1}{2}$ أيونات Cl^- بعدها $\frac{2}{\sqrt{3}}$ وشحنة كل واحد :
- $\frac{1}{4}$ أيون Cl^- بعدها $\frac{2\sqrt{2}R_0}{\sqrt{8}}$ وشحنة كل واحد :
- $\frac{1}{8}$ أيونات Cl^- بعدها $2R_0$ وشحنة كل واحد :

ومن طريق المجموع الجيري لجهود شحن المكعب في النقطة "O" نحسب مساهمة هذه الشحن في ثابت مدلونك (κ):

$$\kappa_1 = \frac{8(1)}{1} + \frac{6(-\frac{1}{2})}{(2/\sqrt{3})} + \frac{12(-\frac{1}{4})}{(2\sqrt{2}/\sqrt{3})} + \frac{8(-1/8)}{2} = 3,065$$

ولتكلمة حساب κ نأخذ مكعبا آخر أكبر يمتد من $-2a$ إلى $+2a$ في المحاور الكارتيزية ونحسب مساهمته κ_2 ... الخ، اذن $\kappa_2 = \kappa_1 + \kappa_2 = \kappa$. وبما أن الرقم 3,065 أكبر بكثير من قيمة $\kappa = 1,7627$ ، نستنتج أن تطبيق طريقة أيفين في حساب ثابت مدلونك لبلورة CaCl_2 تحتاج إلى حسابات كثيرة لأن السلسلة: $\kappa_1 + \kappa_2 + \kappa_3 + \kappa_4 + \dots = \kappa$ (متقاربة بشكل سيء (تقريب بطيء)) وهذا يقارن مع عملية حساب κ لبلورة NaCl حيث كانت $\kappa_1 = 1,46$ بينما $\kappa = 1,74$.

(ب) طاقة التجاذب الكهروستاتيكي تساوي:

$$(1) U_{es} = -N \frac{101 \cdot g^2}{4\pi \epsilon_0 R}$$

حيث N = عدد أيونات البلورة، R = فاصلة الجوار الأقرب. وطاقة التناور الناشئة عن مبدأ باولي تساوي:

$$(2) U_{rep} = N z \lambda e^{-R/p}$$

حيث z = العدد التناصي، والطاقة الكلية تساوي:

$$(3) U_{tot} = -N \frac{101 g^2}{4\pi \epsilon_0 R} + N z e^{-R/p}$$

وعند التوازن $\frac{dU_{tot}}{dR} = 0$ نجد:

$$(4) R_0^2 \exp(-R_0/p) = \frac{101 g^2}{4\pi \epsilon_0 z \lambda}$$

ومنه نجد أن طاقة الرابط عند التوازن تساوي:

$$(5) U_{tot}(R_0) = -N \frac{101 g^2}{4\pi \epsilon_0 R_0}$$

(ج) تتناسب للمكعب الاصطلاحي ذو الحجم a^3 ذرتين أو جزيئتين واحدة لذلك فالحجم المشغول من قبل N جزيئه هو:

$$V = N a^3 = N \frac{8R^3}{3\sqrt{3}} \quad \text{و} \quad \frac{dR}{dV} = \frac{1}{(\frac{dR}{dV})} = \frac{\sqrt{3}}{8NR^2}$$

والآن:

$$\frac{dU}{dV} = \frac{dU}{dR} \cdot \frac{dR}{dV} = \frac{dU}{dR} \frac{d^2R}{dV^2} + \frac{d^2U}{dR^2} (\frac{dR}{dV})^2$$

وعند التوازن $\frac{dU}{dR} = 0$ ، نجد معامل التمدد الحجمي عند التوازن:

$$B = (V \frac{dU}{dV})_{R=R_0} = (V \frac{d^2U}{dR^2})_{R=R_0} \left(\frac{\sqrt{3}}{8NR^2} \right)^2$$

ومن المعادلة (3) نجد أن:

10 - أحسب معامل الانضغاط الجيبي B لبلورة LiF إذا علمت أن طاقة التكوين (الربط) تساوي 246,3 كيلو سعره والمسافة بين أقرب أيونين مول = $R_0 = 2,014 \text{ \AA}$. قارن النتيجة مع القيمة العملية.

الجواب : لبلورة LiF نفس تركيب NaCl
وطاقة التكوين تساوي :

$$U_{\text{tot}} = -\frac{N \alpha \lambda g^2}{4\pi \epsilon_0 R_0} \left(1 - \frac{\rho}{R_0}\right)$$

حيث :

$$\frac{U_{\text{tot}}}{N} = -246,3 \frac{K \text{ cal}}{\text{ mole}} = 10,738 \text{ eV / جزيء / مول}$$

(كيلو سعرة / مول = 0,0433 جول = 1 eV)

$$\frac{1}{4\pi \epsilon_0} = 9 \times 10^9 \frac{\text{Nt} \cdot \text{m}^2}{\text{Coul}^2}, g = 1,6 \times 10^{-19} \text{ كولوم}$$

$$\alpha = 1,747565, R_0 = 2,014 \times 10^{-10} \text{ m}$$

وعند التعويض نجد أن :

$$\frac{\rho}{R_0} = 0,141 \quad \rho = 0,283 \text{ \AA}$$

وللبلورات ذات التركيب NaCl تتحقق العلاقة التالية

$$B = \frac{\alpha \lambda g^2}{4\pi \epsilon_0 18 R_0^4} \left(2 - \frac{R_0}{\rho}\right) = 0,69 \times 10^{11} \frac{\text{Nt}}{\text{m}^2}$$

$$B_{\text{theo.}} = 6,92 \times 10^{11} \frac{\text{Dyne}}{\text{cm}^2} \quad \text{ بينما } B_{\text{exp.}} = 6,71 \times 10^{11} \frac{\text{Dyne}}{\text{cm}^2}$$

والنتيجة متقاربة.

$$\left(\frac{d^2 U}{d R^2} \right)_{R_0} = \frac{N \alpha \lambda}{\rho^2} e^{-R_0/\rho} - \frac{2 N \alpha \lambda g^2}{4\pi \epsilon_0 R_0^3} = \frac{N \alpha \lambda g^2}{4\pi \epsilon_0 R_0^3} \left(\frac{R_0}{\rho} - 2 \right)$$

حيث استعطا بالعلاقة (4)، أذن :

$$(6) \quad B = \frac{\alpha \lambda g^2}{4\pi \epsilon_0 8\sqrt{3} R_0^4} \left(\frac{R_0}{\rho} - 2 \right)$$

وعند التعويض بالقيم :

$$\lambda = 1,7627, g = 1,6 \times 10^{-19} \text{ Coul.}, \frac{1}{4\pi \epsilon_0} = 9 \times 10^9 \frac{\text{Nt} \cdot \text{m}^2}{\text{Coul}^2}, R_0 = 3,57 \times 10^{-10} \text{ m}$$

نجد :

$$R_0/\rho \approx 18, \quad \rho \approx 0,198 \text{ \AA}$$

وعند استعمال المعادلة (4) حيث $\lambda = 8$ نحصل على قيمة λ :

$$(3,57 \times 10^{-10})^2 e^{-18} = \frac{0,198 \times 10^{-10} \times 1,7627 (1,6 \times 10^{-19})^2}{8 \lambda} \quad 9 \times 10^9$$

$$\lambda = 7,88 \times 10^{-21} e^{18} \text{ Joule}$$

وبتعويض قيمة ρ / R_0 في المعادلة (5) نجد طاقة الرابط "جزئية" واحدة :

$$\frac{U_{\text{tot}}(R_0)}{N} = 10,74 \times 10^{-19} \text{ Joule} = 6,71 \text{ eV.}$$

والقيمة العملية $6,75 \text{ eV}$ مقاربة للحسابات النظرية.

$$(3) \quad R_0^m = \frac{4\pi\epsilon_0 \alpha R_0 m}{\alpha g^2} \quad \text{وعند التوازن } \frac{dU_{tot}(R)}{dR} = 0 \quad \text{نجد:}$$

اذن :

$$(4) \quad U_{tot}(R_0) = - \frac{\alpha/2g^2}{4\pi\epsilon_0 R_0} (1 - \frac{1}{m}) = U_{es}(R_0) \frac{m-1}{m}$$

طاقة التكوين هذه لا تختلف كثيراً عن الطاقة الكهروستاتيكية (R_0)، عندما تكون m كبيرة. ونذكر بأن أي خطأ بسيط في القياس العملي لطاقة التكوين يؤدي إلى الحصول على قيم مختلفة جداً للثابت m لذلك سنحسب m بأسلوب آخر سنورده الآن.

(ب) نطبق العلاقة $B = V(d^2 U_{tot} / dV^2)$ حيث :

$$V = \alpha \frac{a^3}{4}, (\alpha = 2R), V = 2\alpha R^3$$

$$\frac{dR}{dV} = \frac{1}{dV/dR} = 1/6NR^2$$

$$\frac{dU}{dV} = \frac{dU}{dR} \frac{dR}{dV}, \frac{d^2U}{dV^2} = \frac{d^2U}{dR^2} \left(\frac{dR}{dV} \right)^2 + \frac{dU}{dR} \frac{d^2R}{dV^2}$$

وعند التوازن حيث $\frac{dU}{dR} = 0$ و $R = R_0$ نجد :

$$(5) \quad B = \frac{1}{18NR_0} \left(\frac{d^2U_{tot}(R)}{dR^2} \right)_{R_0}$$

وباستخدام المعادلة (2) ثم (3) نجد:

$$(6) \quad B = \frac{121g^2}{4\pi\epsilon_0 \cdot 18R_0^4} (m-1) = + |U_{es}(R_0)| \frac{m-1}{18R_0^3}$$

اذن :

* 11 - دراسة البلورة الأيونية : توضع طاقة التناول للبلورة الأيونية في الصورة

$$U_{rep} = \alpha \frac{a}{R^m}$$

حيث α - عدد أزواج الأيونات الموجبة والسلبية ، a - ثوابت تحدد تجربياً ،

R - فاصلة الجوار الأقرب:

(أ) ما هي الطاقة الكلية في حالة التوازن .

(ب) - أحسب علاقة معامل المرونة الحجمية مع الطاقة الكهروستاتيكية لوحدة "الجزيئات" (R_0) عند التوازن.

(ج) - خذ القيم العملية R_0 ، R ، B ، $U_{tot}(R_0)$ (فاصلة الجوار الأقرب عند التوازن، الطاقة الكلية في حالة التوازن لوحدة الجزيئات، معامل المرونة الحجمية) واحسب m للبلورات الأيونية . وعلى أساس هذه القيم أحسب (R_0) وقارنها مع النتائج العملية .

الجواب : طاقة التجاذب الكهروستاتيكية للبلورة الأيونية تساوي:

$$(1) \quad U_{es}(R) = - \alpha \frac{g^2}{4\pi\epsilon_0 R} = - \alpha \frac{4,03 \times 10^{-11}}{R(CA)}$$

وفي الجدول المرافق، الأعمدة الثلاثة الأولى هي القيم التجريبية . والعمود الرابع هو الكمية $\frac{U_{es}(R_0)}{\alpha}$ المحسوبة على أساس المعادلة (1) حيث:

$$\text{كولوم}^{-19} \quad g = 1,6 \times 10^{-19}, \quad \alpha = 1,74756$$

مع العلم أن كل البلورات في الجدول لها التركيب البلوري $NaCl$ والطاقة الكلية (باهمال الطاقة الحرارية) تساوي:

$$(2) \quad U_{tot}(R) = U_{rep} + U_{es} = \alpha \frac{a}{R^m} - \alpha \frac{121g^2}{4\pi\epsilon_0 R}$$

$$m = 1 + \frac{18 B R_0^3}{144 \mu_{es}(\epsilon_0)}$$

وبمعرفة القيم العلمية B ، R_0 ، (ϵ_0) نجد قيم m ونجدولها في العمود

(5) من الجدول المرافق. ونلاحظ أن m تتغير بين القيمتين 6 و 10.

وياستعمال قيم m المحسوبة أعلاه والمعادلة (4) نحسب $(\mu_{tot})^2$ - الطاقة الكلية لوحدة "الجزيئات" عند التوازن. وبمقارنة هذه القيم المحسوبة مع القيم العلمية نجد تطابقاً جيداً عدا هاليدات الليثيوم وبوديد الصوديوم . ولكن يمكن الحصول على تطابق أرجو للحسابات النظرية مع التجربة عند

اجراء التحسينات التالية على الحسابات :

- (1) من الأفضل اختيار طاقة التنافر بصورة $\lambda e^{-r/\rho}$.
- (2) ادخال طاقة فان - در - والز في الحسابات .
- (3) التعامل مع الطاقة الحركية الصفرية .

المركب	$R(\text{\AA})$	B $(10^{11} \frac{\text{دین}}{\text{متر}^2})$	μ_{es} $(10^{-11} \frac{\text{دین}}{\text{ألك}})$	m $(10^{-11} \frac{\text{دین}}{\text{ألك}})$	$\mu_{tot}(R_0)(\epsilon_0)$ $(10^{-11} \frac{\text{دین}}{\text{ألك}})$
Li_F	2,01	6,71	-1,68	-2,01	5,88
LiCl	2,56	2,98	-1,38	-1,57	6,73
LiBr	2,75	2,38	-1,32	-1,47	7,06
LiI	3,00	1,72	-1,23	-1,34	7,24
NaF	2,31	4,65	-1,49	-1,75	6,90
NaCl	2,82	2,40	-1,27	-1,43	7,77
NaBr	2,99	1,99	-1,21	-1,35	8,09
NaI	3,24	1,51	-1,13	-1,24	8,46
KF	2,67	3,05	-1,32	-1,51	7,92
KCl	3,15	1,75	-1,15	-1,28	8,69
KBr	3,30	1,48	-1,10	-1,22	8,85
KI	3,53	1,17	-1,04	-1,14	9,13
RbF	2,82	2,62	-1,26	-1,43	8,40
RbCl	3,29	1,56	-1,11	-1,23	9,13
RbBr	3,43	1,30	-1,06	-1,18	9,00
RbI	3,67	1,05	-1,01	-1,10	9,49
CsF	3,00	2,35	-1,20	-1,34	9,52

جدول ثالث للتمرين 11

13 - (1) خذ بلورة أوكسيد الباريوم BaO ذات التركيب $NaCl$
أحسب طاقة التجاذب الكولومية لكل جزيئه على أساس فاصلة الجوار الأقرب
 $R = 2,768 \text{ \AA}$ واعتبار الباريوم أحادي التكافؤ ($Ba^{+} O^{-}$) مرة، وثنائي التكافؤ ($Ba^{++} O^{--}$) مرة أخرى.

$$R_0 = 2,81 \text{ \AA} \quad \text{حيث } N_a Cl = 2,81 \text{ \AA}$$

(ب) نستعمل الرموز التالية:
ع - الطاقة اللازمة لابعاد الكترون واحد من الذرة (طاقة التأين I):

$$X + e_I^+ = X^+$$

ع - الطاقة اللازمة لابعاد اللكترون الثاني من الذرة المتأينة (طاقة التأين II):

$$X^+ + e_{II}^+ = X^{++}$$

ع - الطاقة الناتجة عن التحام الكترون واحد مع الذرة وتسمى طاقة الالفة الالكترونية (affinity)

$$X + e^- = X + e_I^a$$

ع - طاقة الالفة الالكترونية الثانية:

$$X^- + e^- + e_{II}^a = X^{--}$$

$$e_I^+ \quad \text{ع} \quad e_{II}^a \quad e_{II}^a (\text{الوحدات eV})$$

	Ba	Na	O	Cl
	5,21	$\sim 10,0$	-	-
	5,14	47,29	-	-
	-	-	1,22	$\sim 9,0$
	-	-	3,613	~ 10 (افتراضي)

12 - دراسة البلورة الأيونية : KCl

(1) - أحسب طاقة تفاعل الأيون e^- مع كل أيونات البلورة مستتيجاً أيها في الصورة: $\frac{e^2}{R} + \beta = \frac{B_n}{R^n}$
اعتبر $n = 10$ وأحسب B_{10} مع العلم أن التفاعل يتم مع أربعة جوارات أقرب.

(ب) - أحسب β عند التوازن، اذا علمت أن $\alpha = 1,75$ ، $R_0 = 3,15 \text{ \AA}$

$$\text{الحل: (1) لدينا: } \frac{(\pm) e^2}{R_{ij}} + \frac{\beta}{R_{ij}^n} = \frac{(\pm) e^2}{R P_{ij}} + \frac{\beta}{R^n P_{ij}^n}$$

$$\sum_i \left(\frac{(\pm) e^2}{R_{ij}} + \beta \right) = - \frac{10 \alpha e^2}{R} + \beta \frac{B_n}{R^n}; \quad (B_n = \sum_j P_{ij}^n)$$

$$\text{الجوارات الأربع الأولى للأيون } K^+ \text{ حيث } R = \frac{a\sqrt{3}}{2}$$

الجوار الفاصلة العدد النوع

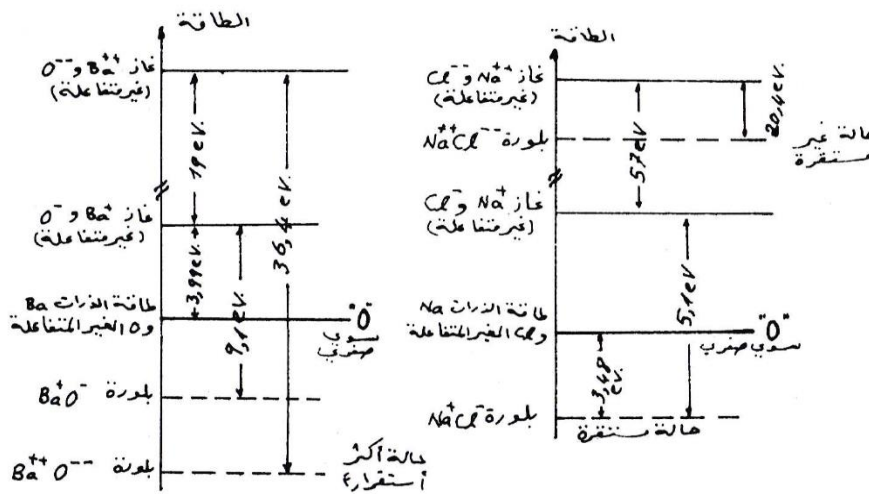
i	R	I	B_{10}
K^+	12	$\sqrt{2} R$	II
O^-	8	$\sqrt{3} R$	III
Cl^-	6	$\sqrt{4} R$	IV

$$B_{10} = 6,413$$

$$(\frac{dU_i}{dR})_{R_0} = 0 \Rightarrow \beta = \frac{e^2}{4\pi\epsilon_0} \frac{\alpha R_0^9}{10 B_{10}} = 11998 \text{ eV.A}^{10} \quad (b)$$

باهمال طاقة التنافر. بين ما هو تكافؤ الباريوم والموديوم في بلورتيهما لكي تكونا أكثر استقرارا.

وت تكون بلورة Ba^+O^- من غاز Ba^+ و O^- وطاقة البلورة أقل من طاقة الغاز بمقدار $U_{eq}(n=1)$. وت تكون بلورة Ba^+O^- من غاز Ba^+ و O^- وطاقة البلورة أقل من طاقة الغاز بمقدار $U_{eq}(n=2)$. وبالتالي نحصل على "المخطط الطاقي" .



شکل تمرین ۱۲

ويتبين من المخطط (1) أن البلورة $\text{Ba}^{+2}\text{O}^{-2}$ أكثُر استقراراً (أقل طاقة) من Ba^{+2} .
أي أن للباريوم تكافؤ شائي. أما في حالة $\text{Na}^{+1}\text{O}^{-2}$ فتكافؤ الصوديوم الأكثُر استقراراً هو واحد. أما الحالة $\text{Ca}^{+2}\text{O}^{-2}$ فغير مستقرة.

الحل (١) طاقة التجاذب الكولومية ، عمل :

$$U_{es} = - \frac{16\pi n^2 g^2}{4\pi \epsilon_0 R_0} \cdot j_{out} = - \frac{16\pi n^2 g}{4\pi \epsilon_0 R_0} eV$$

$$\alpha = 1,747 \quad , \quad g = 1,6 \times 10^{-10} \text{ coul}^2 \text{ N}^{-1}$$

$$B_2^+ O^- \quad (\gamma = 1) \qquad \qquad \Delta_{es} = -9,1 \text{ eV}$$

$$B^{++} \bar{D}^{--} \quad (\eta = 2) \qquad U_{es} = -36.4 \text{ eV}$$

$$e^+ e^- \quad (\gamma = 1) \qquad U_{es} = -5.1 \text{ eV}$$

$$^{++} \bar{e}^{-} \quad (n=3) \qquad \omega_{es} = -20,4 \text{ e}$$

(ب) لسهولة التصور يجعل الطاقات بهيئة مخطط سويات طافية حيث السوي المفري هو مجموع طاقات ذرات $B\alpha$ وذرات O منفصلة عن بعضها (أي غير متفاعلة). والطاقات التي سنتناولها بالحساب محسوبة بالنسبة لزوج من الذرات (جزيئه).

يعطي لدارات Ba طاقة I^2 لتساين، واللكترون الناتج يلتحم مع O ليعطي طاقة I^2 ، اذن الطاقة اللازمة لتكوين أيونات Ba^+ وأيونات O^- غير متفاعلة (بالنسبة لطاقة الذرات الغير المتفاعلة) تساوي $3,99 \text{ eV} = + 1,22 - 5,21$ أي أن طاقة "غاز" الأيونات أعلى من طاقة "غاز" الذرات.

نعطي لآيونات Ba^+ طاقة II^\ddagger للتاثير وتحول الى $Ba^{+ +}$ والالكترون الحاصل نعطيه طاقة ليتضم مع O^- لي變成 O . اذن الطاقة اللازمة لتكوين آيونات $Ba^{+ +}$ وآيونات O^- غير متفاولة (بالنسبة لطاقة آيونات Ba^+ و O^-) الغير المتفاولة مع بعضها) تساوي $19\text{ eV} = 10 + 9$.